

|                    |                |              |           |           |              |                              |
|--------------------|----------------|--------------|-----------|-----------|--------------|------------------------------|
| Sbor.<br>geol. věd | Geologie<br>42 | Str.<br>9—40 | —<br>obr. | 1<br>tab. | 36<br>přísl. | Praha 1987<br>ISSN 0581-9172 |
|--------------------|----------------|--------------|-----------|-----------|--------------|------------------------------|

# Textury a struktury svrchnoproterozoických vulkanitů Barrandienu

## Structures and textures of the Upper Proterozoic volcanics of the Barrandian area

František Fiala<sup>1</sup>

Předloženo 22. 3. 1985

Fiala F. (1987): Textury a struktury svrchnoproterozoických vulkanitů Barrandienu. — Sbor. geol. Věd., Geol., 42, 9—40. Praha.

Výtah: V souborné práci o svrchnoproterozoickém vulkanismu Barrandienu (Fiala 1977) nebylo možno — vzhledem k rozsahu textu — současně připojit i připravenou obsáhlou fotografickou dokumentaci. To se uskutečňuje až nyní, kdy se čtenář může seznámit s touto dokumentací v částečně upravené verzi týkající se především textur a struktur našich proterozoických vulkanitů. V samém počátku textu je podán stručný přehled vulkanických zón barrandinského proterozoika a hlavních typů jejich vulkanitů. Dále následuje seznam a charakteristika sledovaných textur a struktur s odkazy na příslušné fotografie a v omezeném rozsahu i na typické lokality.

<sup>1</sup> Žateckých 26, 140 00 Praha 4

### Úvod

V souborné práci o svrchnoproterozoických vulkanitech Barrandienu (Fiala 1977) byly charakterizovány jejich petrografické typy a bylo diskutováno jejich rozložení v jednotlivých vulkanických zónách. Podrobně byl sledován jejich chemismus a na základě grafů byly řešeny magmatotektonické vztahy.

Dodatečně je publikována aspoň část původně připraveného dokumentačního fotografického materiálu. Jsou to snímky a hlavně mikrofotografie, vystihující textury a struktury našich proterozoických vulkanitů. Fotografická dokumentace, čítající 104 snímků včetně 89 mikrofotografií, poslouží jako vhodný doplněk uvedené monografie (Fiala 1977).

### Vulkanické zóny barrandienského proterozoika

Zóna mariánskolázeňského metabazitového komplexu s metabazalty, amfibolity, granátickými a eklogitickými amfi-

bility, serpentinity a pyroxenity Slavkovského lesa, s asociací ofiolitového typu není zahrnuta do dokladového materiálu.

Zóna stříbrsko-plaská vykazuje největší diferenciaci vulkanitů od ultramafických serpentinizovaných pikritických porfyritů přes nejhojnější aktinolitizované tholeiitické metabazalty a podřízené spility a intermediární keratofyr-spility a spilit-keratofyry ke keratofyrům s.s. a ojedinělým křemenným albitofyru. Chemismus vulkanitů je blízký tholeiitům oceánského dna (OFB — ocean floor basalts). Stilpnometanové metavulkanity od Draženě jsou příbuzné draselným spilitům. — Západnější pruh s výšinami obsahuje vedle aktinolitizovaných metabazaltů a jejich metatufů, změněných v zelené břidlice, i křemenné albitofyry.

Zóna draselných spilitů pruhu Slatina - Pavlikov j. od Rakovníka přinesla variolity, mandličkovité polštářové lávy, nehojně doleritické typy a tufy. Typ vulkanitů odpovídá spilitizovaným mugearitům.

Hlavní centrální vulkanická zóna obsahuje převážně tholeiitické metabazalty, většinou postižené metamorfózou jednak prehnitové až prehnit-pumpellyitové facie, jednak epizonální, aktinolitizované, až typu zelených břidlic, na JZ (Klatovsko, Domažlicko) místo změněné až v mezonozální amfibolity. Podřízené jsou spility s.s. bohatší na Na<sub>2</sub>O. Zejména ve střední části jsou hojně polštářové lávy, které jsou místo variolitické. Jen zcela ojediněle byly zjištěny keratofyry (Hřešihlav). Hojně jsou sklovité brekcie s polštáři a bloky metabazaltů nebo spilitů v granulované základní hmotě (Zbečno, Kotrov, Letkov, Lišice aj.) i samostatně vystupující granuláty a granulátové tufy (hyaloklastity Rittmanna). Na JZ hojně tufy naznačují menší hloubky moře. Podřízené jsou porfyrické typy, tj. spilitické, labradoritové a pyroxenické andezito-bazaltové porfyry. Celkový charakter chemismu je blízký typu vulkanismu oceánských hřbetů (MORB — mid-ocean ridge basalts).

Jihovýchodní vulkanická zóna v jv. křídle Barrandienu obsahuje typickou formaci metabazalt-spilit-keratofyrovou. Směrem k SV na Blovicku a Příbramsku klesá podíl bazických metabazaltů, částečně zrohovcovatělých při kontaktu s žulovou intruzí klatovského výběžku středočeského plutonu, a stoupá podíl intermediárních keratofyr-spilitů, spilit-keratofyru a keratofyru. Augitické porfyry na Blovicku jsou často amfibolizované. Celkový trend chemismu odpovídá řadě olivinickým bazalt-mugearit-trachyt. Dále k SV na Dobříšsku se objevují a v úseku Zbraslav—Davle—Kozí Hory a v menším rozsahu dále na Říčansku naprostě převládají kyselé vulkanity vývojově mladší davelské skupiny, tj. křemenné albitofyry a podřízené propylitizované andezity alkalicko-vá-

penatého chemismu, indikující v tomto prostoru výstup magmatu v podmínkách zdvihů, popř. komprese.

Vulkanity jílovského pásma nebyly předmětem studia.

### Hlavní typy vulkanitů

Zatím co v sz. křídle Barrandienu daleko převládají oceánské tholeiické metabazalty s podřízenými spility a značným hiátem vůči keratofyrům, vystupuje v jihovýchodní vulkanické zóně plynulá diferenciální řada od metabazaltů a spilitů ke keratofyrům. Proterozoické metabazalty byly označeny Slavíkem (1909 aj.) souhrnně jako spility vzhledem k jejich afanitickému typu. Nyní jsou jako spility označeny jen bazické metavulkanity se zvýšeným obsahem  $\text{Na}_2\text{O}$  ( $> 4\%$ ) a  $\text{H}_2\text{O}$ , složené z albitu, chloritu,  $\pm$  augitu a leukoxenu. Obsah  $\text{SiO}_2$  je u nich — stejně jako u metabazaltů — až na ojedinělé výjimky nižší než 52 %. Intermediární vulkanity analogického složení označil Fiala (1977) jako keratofyrsplity (52—55 %  $\text{SiO}_2$ ), spilit-keratofyry (55—60 %  $\text{SiO}_2$ ) a keratofyry (nad 60 %  $\text{SiO}_2$ ). Charakteristické jsou pro ně trachytoidní fluidální textury, místy s úzce tabulkovitými vrostlicemi albitu. Kyselé albitické vulkanity alkalicko-vápenatého chemismu, dříve — a místy dosud — uvádě-

Tabulka 1  
Andezito-bazaltové porfyry hlavní centrální vulkanické zóny a Blovicka

| hornina                               | číslo analýzy | obsah $\text{SiO}_2$<br>analýzy | přepočet na bezvodou bázi |
|---------------------------------------|---------------|---------------------------------|---------------------------|
| spilitický porfyr, Skryje             | 20/15         | 47,31                           | 50,47                     |
| spilitický porfyr, Skryje             | 21/16         | 47,01                           | 48,71                     |
| spilitický porfyr, Veliká Ves         | 15 C          | 48,58                           | 50/20                     |
| labradoritový porfyr, Špičák          | 14/26         | 44,56                           | 46,50                     |
| andezito-bazaltový porfyr, Roupov     | 60/201        | 47,71                           | 50,56                     |
| andezito-bazaltový porfyr, Roupov     | 61/222        | 47,28                           | 50,12                     |
| pseudovariolitický porfyr, Oprechtice | 73/78         | 44,21                           | 45,68                     |
| pseudovariolitický porfyr, Božkovy    | 74/78         | 45,33                           | 47,73                     |
| ultramafický porfyr, Prádlo           | 133/134       | 44,48                           | 46,54                     |
| amfibolický metaporfyr, Vrčeň         | —             | 50,68                           | 50,72                     |

né jako křemenné keratofyry, jsou označeny jako křemenné albitofyry (Fiala 1976, 1977). Jejich struktury jsou odlišné od struktury keratofyrů ss. Jsou výrazně porfyrické s široce tabulkovitými vrostlicemi albitu, popř. albit-oligoklasu  $\pm$  křemene  $\pm$  biotitu. Struktura základní hmoty není trachyticky fluidální, nýbrž felzitická nebo mikrogranitická.

Andezito-bazaltové porfyry hlavní centrální vulkanické zóny a Blovice mají struktury odpovídající andezitům, ale chemismus zůstává v rámci chemismu bazaltů a spilitů (tab. 1). Uvedená čísla analýz se vztahují na tabulky z monografie (Fiala 1977).

### Textury

*Textura nebo stavba* (Kettner 1943, s. 33) je dána uspořádáním součástek, jejich různou velikostí a vzájemným poměrem (Hejtman 1956, s. 201). V podrobnějším rozvedení (Milch 1912, Zavarskij 1929, 1955, Polovinka 1948, 1966) určují texturu horniny:

- 1 — rozložení a uspořádání součástek v prostoru, podmíněné jednak zvláštnostmi krystalizace, jednak vnějšími vlivy;
- 2 — způsob vyplnění prostoru masou horniny během a následkem procesů probíhajících v tavenině před jejím utuhnutím nebo během krystalizace;
- 3 — tvary odlučnosti, vznikající následkem ochlazování utuhlé taveniny nebo působením vnějších vlivů během její krystalizace a po ní.

Ve většině případů lze texturu horniny rozlišovat makroskopicky. Různé podmínky tuhnutí vyvřelé horniny podmiňují texturu kompaktní nebo póravitou, popř. brekciovitou, paralelní, kulovitou, mandlovcovitou apod. K základním prvkům stavby patří i odlučnost (slouPOVITÁ, kulovitá aj.). Uvedené hlavní typy textur mají četné modifikace označované samostatnými termíny. Nejdůležitější, pokud vystupují u našich proterozoických vulkanitů, jsou uvedeny dále v textu.

*SlouPOVITÁ odlučnost* byla pozorována jen ojediněle. Vystupuje např. u draselných spilitů slatinsko-pavlíkovského pruhu ve východnějším lúmku na sz. svahu návrší Šípy (bod č. 504) j. od Rousnova.

*Polštářové lávy* (*pillow lavas*, srov. příl. I, II, III) jsou u našich proterozoických vulkanitů zjevem velmi hojným (Fiala 1967, 1977). Polštáře, většinou ovoidního, někdy kulovitého tvaru, mají průměry od 1–2 dm do 2–3 m (Koterov), nejčastěji mezi 50–70 cm. Přikládají se k sobě někdy těsně, jindy je meziprostor vyplněn lávovou hmotou, nejčastěji chloritizovaným a granulovaným sklem, někdy se sedimentární příměsí (Březové Hory), nebo břidličnou hmotou, případně prokřemenělou (Zbraslav). Místy lze pozorovat sedlovité nasedání polštářů nad sebou (Čer-

tova skála u Týřovic, Koterov aj.). Sklovitá mezipolštářová výplň je většinou zřetelně bazičtější než hornina polštářů (Slavík 1927, Fiala 1966a, 1967, 1977), jmenovitě má vyšší obsahy MgO, FeO a H<sub>2</sub>O. Proti staršímu názoru (Slavík 1927, 1928), že tato bazická mezerní hmota bohatá na sklo představuje mladší magmatický přínos, stojí novější názory o granulaci a deskvamaci — odlupování a případně mechanickém otěru rychle tuhnoucích sklovitých okrajů polštářů (Rittmann 1958, Hentschel 1963 aj.). V některých případech (Dražeň, Vodochody) nelze vyloučit uplatnění likvačního procesu. Během ochlazování a tuhnutí se polštáře chovají jako samostatná individua. Pod prudce ochlazovanou a rychle tuhnoucí korou chladne vnitřek polštáře pomaleji a vyvíjí se plynule drobně krystalická struktura. Často dochází k vývoji variol (příl. IV, V/1). V literatuře často uváděná porézní nebo mandlovcovitá textura polštářů je u našich proterozoických láv vyvinuta jen vzácně (Chocenice aj.). Mandličky kalcitové, chloritové, popř. křemenné, jsou většinou drobné, jak to odpovídá větší hloubce moře v místě výlevu lávy (Moore 1970). V jihozápadní vulkanické zóně, hlavně na Blovicku, jsou mandlovcové a místy i porézní textury polštářů hojnější.

*Textura variolitická* se projevuje u metabazaltů nebo spilitů makroskopicky patrnými kulovitými až elipsoidickými útvary (variolami) o průměru 0,5 až 5 mm, ojediněle i většími, v celistvé základní hmotě. Zřetelněji vystupují na navětralé ploše horniny. Jejich výskyt v našich terénech je většinou vázán na polštáře láv. Někdy tvoří zónu pod sklovitě utuhlým okrajem, jindy jsou vyvinuty v celém rozsahu polštáře a pak zřetelně obohaceny v jeho horní polovině. Hojně výskyty variolitů jsou zejména na Radnicku (Svinná, Kamenec, Podmokly, Zvíkovec, Čertova skála u Týřovic, Skomelno), řidčeji i jinde (Zbečno, Koterov, Březové Hory aj.). Méně časté jsou případy, kdy variolity nejsou vázány na polštáře láv, ale tvoří samostatné polohy, např. v draselných spilitech slatinisko-pavlikovského pruhu, zejména v lomu s. od Slatiny. V západním svahu Ostrého vrchu jz. od Rousínova vystupují ze základní hmoty draselného spilitu světlejší navětralé, silně protažené varioly o průměru až 1×5 cm, srov. příl. V/2.

V literatuře jsou varioly většinou posuzovány jako živcové siérokristaly, někdy s augitovým jádrem, krystalující přímo z magmatu. Bývají však i celistvé nebo felzoidní, někdy i rekrytalované se strukturou případně až mikrointersertálního typu. Jindy je jejich vznik vysvětlován likvačním odmíšením (liquid immiscibility) z taveniny, v níž se během chladnutí oddělila nemísivá kyselejší, sušší a alkaliemi bohatší složka variol od bazičtější, MgO, FeO a H<sub>2</sub>O bohatší základní hmoty. Vztahy obou složek vystupují výrazně v grafech hodnot Niggliho (srov. Fiala 1966a, 1967, 1974, 1977). V nich pozice bodu celkové

horniny uprostřed mezi vzdálenými průměty variol a základní hmoty — nezřídka na lineární spojnici obou, nejvýrazněji u Svinné — nasvědčuje procesu likvace. Přesvědčivým dokladem je i splývání variol — původních kapek — v průběžných pásmech, často souběžných s povrchem polštáře (příl. IV, V/1). Podobnou fotografii nábrusu variolitu od Kamence publikoval Kettner (1943, s. 47, obr. 32). Splývání kapek jako důkaz nemísitelnosti uvedla přesvědčivě Giljarová (1959). Vznik variol likvací vyložil Levinson-Lessing (1905, 1935). Stejný princip pro jejich vznik uplatnili např. i Vuagnat 1946, Favorskaja 1963, Carstens 1964, Fiala 1967, 1974, 1977, Paakkola 1971, Gélinas et al. 1976 aj. Rezervovaněji se k pojetí likvačního vzniku variol vyslovil např. Philpotts (1978), jenž jinak v řadě publikací důrazně uplatňuje význam procesu likvace (liquid immiscibility) v procesu chladnutí tholeitických magmat.

*Textura perlitická*, charakteristická pro kyselá skla (obsidiany, smolky, perlity) se projevuje vývojem obloukovitých, často koncentricky orientovaných odlučných prasklinek až i drobně kulovitým rozpadem skla v útvary o průměru 0,5 cm až i několik cm. V kyselých vulkanitech davelské skupiny, resp. v jejich pyroklastikách byla perlitická odlučnost tu a tam pozorována v klastech tufů (příl. XXXII/4). Pěkné ukázky této textury byly zjištěny ze sklovitých trachytů návrší Velkého a Malého Chlumku z. od Chocenice na Blovicku, srov. příl. X.

*Textury granulační* jsou charakteristickým znakem drobně až hrubě brekciovitých hornin, vznikajících mechanickým rozpadem proudící a sklovitě tuhnoucí lávy při jejím prudkém ochlazování na styku s vodou. V tom smyslu interpretovali proces granulace Měška a Fiala (1948), později Fiala 1966b, 1970a, Carlisle (1963), s poukazem na analogický proces granulace vysokopevní strusky při výtoku její tavěnniny do proudící vody. Rittmann (1958) označil analogické produkty submarinní fragmentace bazických láv jako hyaloklastity a uvažoval pro jejich vznik odlupování (deskvamaci) sklovité kůry polštářů láv při subakvatilním pohybu lávy. Hentschel (1963) uznával kombinaci obou faktorů. Termín hyaloklastity doznal širokého uplatnění. Další autoři uvedli různé modifikace. Saemundsson (1967) aplikoval termín hyaloklastity i pro palagonitové tufy Islandu. Tazieff (1973) popírá význam granulace, uvažuje spíše explozi lávy bohaté na plynné složky v subakvatilním prostředí.

Produkty granulace, často sdružené s proudy polštářových láv, jsou v podstatě střípkovité fragmenty sopečného skla, omezené obloukovitými konkávními plochami a často spoju ještě souvisící úzkými mostky. Během erupce jsou posunovány proudem granulující lávy nebo proudem

vody dále a postupně rozvolňovány, případně až rozplavovány a znova sedimentovány. Existují tudíž časté přechody do granulátových tufů.

*Sklovité brekcie* vznikají analogickým procesem jen částečné dezintegrace lávového proudu. Při tom v mase granulátu zůstávají uzavřeny větší či menší kusy celistvé horniny, velmi často i kusy rozpadlých polštářů. V literatuře byly popsány různé případy, některé označené zvláštními termíny. Rozpukáním a částečným rozpadem polštářů vznikají polštářové brekcie („broken pillow breccia“ Carlisle 1963), stržením a uzavřením celých menších polštářů a kusů horniny do granulátové masy vzniknou útvary popsané jako „isolated pillow breccia“ (Carsten 1964). Nověji Carlisle a Susuki (1974) rozlišili polštářové brekcie na tři typy: „isolated pillow breccia“, „broken pillow breccia“ a „pillow fragment breccia“. Zajímavé doklady podobných zjevů byly sledovány v lomu u Zbečna (příl. VI), a zejména na hlubokých obzorech Šachet Anna a Vojtěch v Březových Horách.

Výskyty granulátů a sklovitých brekcií jsou v proterozoických vulkanitech Barrandienu dost časté. Granuláty tu tvoří: 1 — výplně mezerního prostoru polštářových láv (Vodochody, Zbečno, Skomelno aj.); 2 — samostatné masy, někdy spojené přechody s granulovanými polštářovými lávami (Zbečno, Kotrov, Letkov, Lišice, na Blovicku Měcholupy a Chocenice), srov. příl. VII, XI/1, XII, XIII, XIV; 3 — okraje některých lávových proudů (sv. od Čilé na Radnicku); 4 — mohutné akumulace přecházející do aglomerátů (Písářův vrch u Týřovic).

*Textury peperitové*: Drobně granulovaný sklovitý materiál, explozivně vyvržený do vodního prostředí a v něm smíšený se zvířeným bahmem v hustou emulzi, vytváří při klesání a sedimentaci na dně horninu vzhledem podobnou tufitům — *peperit*. Takové horniny s fragmenty rozložených skel v černé grafitoidní břidlici byly hojně pozorovány v dolech v Březových Horách, v terénu místy na Radnicku. Srov. příl. VIII a IX.

*Lávové brekcie*, sopečné brekcie apod. vznikají dezintegrací starší utuhlé lávy během nové exploze nebo extruze a novým stmelením rozvolněného materiálu lávovou hmotou. Podobné brekcie jsou hojně v křemenných albitofyrech davelské skupiny, srov. i Kettner (1943).

*Textury rovnoběžné (paralelní)* jsou vyznačené zřetelným usměrněním a případně ložním rozložením součástek. K nim patří:

*Textura fluidální, proudovitá*, podmíněná pohybem lávy (magmatické taveniny). Je hojná ve sklech bazických vulkanitů (metabazaltů, spilitů), srov. příl. XI až XIV. Krásný příklad fluidální textury ve velkém rozměru je v opuštěném lomu v draselných spilitech slatinsko-pavlíkovského pruhu s. od Slatiny (bod č. 421). Nad nevýraznou polohou polštářové lávy tu vystupuje systém fluidálních variolitických láv, v němž se střídají slabší, výrazněji variolitické polohy 10—40 cm mocné s mocnějšími ce-

listvými, místy jemně mandličkovitými, upadající  $34^{\circ}$  na SSZ. Střídání různě strukturovaných poloh bylo zjištěno v stilpnometelanových metavulkanitech vrtů D-1 a D-2 u Dražené na Plasku. Běžné je fluidální uspořádání albitových lišt u keratofyrů (příl. XV), někdy s eutaxitickým střídáním poloh různé zrnitosti a struktury (příl. XV/1). Náznaky hrubé fluidální textury lze místy pozorovat i u křemenných albitofyrů davelské skupiny.

*Textura ložní*, až zvrstveného typu (příl. XXXIV), je typická pro drobno- až jemnozrnné facie bazaltových a spilitových *metatufov*. Jejich někdy nápadné zvrstvení je dánno diferencováním poloh odlišných barvou, velikostí zrna, minerálním složením, popř. i strukturou. Minerální složení je většinou ovlivněno různým zastoupením produktů metamorfí přeměny. Často se uplatňují vlivy tlakového postižení, jevíci se zprohýbáním nebo detailním povrásněním poloh. Příklady lze spatřit na JZ hlavní centrální vulkanické zóny na Domažlicku, Klatovsku a Chudenicku, místy i v zóně stříbrsko-plaské, hlavně na Jesenicku.

*Textura půrovitá*, podmíněná zpěněním magmatu v důsledku unikání plynů během efúze nebo i před ní následkem výrazného poklesu tlaku, se objevuje v proterozoických vulkanitech jen místy (např. u Měcholup na Blovicku). Nelze proto uplatnit větší terminologickou diferenciaci textur, projevující se u výlevních hornin mladších útvarů (*textura půrovitá, bublinatá, struskovitá, pemzovitá atd.*). Ve většině případů byly dutinky, vzniklé zpěněním lávy, dodatečně vyplněny mladšími produkty mandlových výplní.

*Textura mandlovcová, amygdaloidní* (příl. XVI až XVIII) vzniká vyplněním dutinek v utuhlé zpěněné lávě buď bezprostředně po výlevu, nebo — někdy značně — později mladšími minerálními složkami. Jsou to buď produkty přeměny okolní horniny, nebo přínos z pronikajících vodních roztoků. Výplní bývá kalcit, chlorit nebo křemen, vyskytující se buď samostatně, nebo společně. Podřízeně se objevuje analcem, pumpellyit, prehnit, stilpnometelan. Mandle jsou u našich proterozoických vulkanitů většinou malé, jejich velikost v průměru činí 1–4 mm, vzácně přesahují 1 cm. Celkem dost omezené rozšíření mandlovcových textur nasvědčuje značným hloubkám mořského prostředí, v němž probíhaly výlevy. Tvar mandlí bývá okrouhlý nebo ovoidní, někdy zcela nepravidelný. Blízké mandle někdy spolu splývají. Mladší kalcitové nebo křemenné žilky často zřetelně protínají mandlovou výplň. Někdy však je možno pozorovat splývání kalcitové výplně a přínosové kalcitové žilky. Časté protažení mandlí je někdy důsledkem proudění lávy, většinou však je následkem tlakových vlivů (příl. XVIII).

*Textury kataklastické* jsou druhotné textury, vzniklé působením směrného tlaku, tektonických pohybů a drcení. U bazických metavulkanitů

s hojným obsahem chloritu se uplatnily spíše textury kluzného typu. Brekcionité textury vzniklé drcením se objevují u holokrystalických, zrnitých hornin, srov. příklad albititu z údolí Lipiže u Dobříše (příl. XXVI/4).

### Struktury

Struktura horniny je podle Ku z n ě c o v a (1956, s. 61) charakterizována tvary, rozměry a vzájemným sepětím součástek horniny a stupňem jejich krystaličnosti; má úzké vztahy k původu horniny. V podrobnejším rozvedení podle M i l c h a (1912), Z a v a r i c k ě h o (1929, 1955), P o l o v i n k i n y (1948, 1966) a H e j t m a n a (1956) jsou pro strukturu vyvřelých hornin směrodatné faktory:

- 1 — stupeň krystaličnosti horniny a případný podíl skla,
- 2 — velikost součástek: a) absolutní, b) relativní,
- 3 — tvar součástek, tj.:
  - a — krystalový tvar a vývoj;
  - b — stupeň idiomorfie a dalších vlastností závislých na postupné nebo současné krystalizaci, případně na odmíšení v již pevné hornině;
  - c — změny tvaru před koncem procesu tuhnutí;
  - d — změny tvaru v již pevné hornině (např. katakláza).

V dalším textu jsou uvedeny hlavní typy struktur našich proterozoických vulkanitů s odkazy na mikrofotografie v přílohách. Původní struktury starých bazických vulkanitů doznaly v řadě případů změny vlivem kontaktní, pokryvné nebo regionální metamorfózy. Některé charakteristické struktury mladých vulkanitů nacházíme u našich starých vulkanitů jen zřídka.

*Struktura sklovitá (hyalinní, vitrofyrická)* je u našich proterozoických vulkanitů, přes jejich časté a namnoze intenzívni přeměny podmíněně slabou metamorfózou, dost často zachována. Vystupuje především ve sklech granulovaných metabazaltových proudů (příl. VI a VII), v granulovaných meziplotštářových výplních láv a často i v korových zónách polštářů (příl. IV a V), většinou současně s doklady typických fluidálních textur (příl. XI až XIV). Rozdíly v barvě a indexu lomu jednotlivých zón a poloh nasvědčují procesům likvace před utuhnutím taveniny. Zachované trachytové sklo od Chocenice na Blovicek (příl. X) má vyvinutou perlitickou texturu. Křemenné albitofyry davelské skupiny vykazují ve fragmentech svých pyroklastik vedle hypokrystalických typů i hojně typy sklovité, někdy rovněž s perlitickou texturou (příl. XXXII/4).

*Struktura hypokrystalická (hemikrystalická)* je ve výlevných vulkanitech častá. Vyznačuje ji přítomnost většího nebo menšího podílu sklovité základní hmoty, v níž jsou krystaly horninových součástek buď jako

porfyrické vrostlice (živců, křemene, pyroxenu, amfibolu, biotitu), nebo jen jako velmi drobné krystalky, popř. mikrolity. Sklo bazických vulkanitů podlehlo často přeměně (kalcit, chlorit, prehnit, pumpellyit, stilpnomelan, aktinolit, popř. křemen aj.). Skla kyselých vulkanitů byla vystavena procesům rekrytalizace, někdy jen náznakové, jindy intenzivnější.

*Struktura hyalopilitická* je struktura bohatá na sklo, při níž uzoučké lištičky živců (plagioklasů) a podřízených dalších součástek (hlavně pyroxenů a rud) vystupují, často s náznakem fluidálního usměrnění, v daleko převažujícím skle základní hmoty. Tuto strukturu, charakteristickou pro pyroxenické andezity, potkáváme u metabazaltů a spilitů jen výjimečně. Vzácně se objevuje ve fragmentech pyroklastik albitofyrů.

*Struktura felzitická (felzoidní)* je napohled celistvá, někdy i velkým zvětšením těžko rozlišitelná. Základní hmota, odpovídající odskelněnému sklu, nedovoluje zjištování jednotlivých složek. V podstatě ji tvoří nesmírně jemnozrnný agregát živců a křemene. Vystupuje hojně v kyselých vulkanitech a tvoří často i základní hmotu jejich hypokrystalicky porfyrických typů. Ojediněle byla zjištěna i v některých variolách draselných spilitů (příl. XIX/4).

*Struktura subvariolitická* (příl. XIX/1, 2, 3) základní hmoty metabazaltů vykazuje husté nahloučení hrudkovitých útvarů slabě odskelněného skla o průměru 0,2–2 mm, jen někdy s náznakem radiálně paprscité struktury. Do jisté míry odpovídá sférokystalické, popř. sférolitické struktuře některých kyselých vulkanitů.

*Struktura mikrovariolitická* (srov. „variolitická“ Polovinkiny 1948, 1966 aj.) je nejběžnější strukturou základní hmoty makroskopických (texturních) variolitů. Srov. příl. XX a XXII/1. Jemné živcové lištičky (albit, popř. až oligoklas), někdy kostrovité nebo prohnuté, tvoří radiálně paprscité nebo snopkovité svazky. V mezerách mezi živci je sklo, někdy chloritizované, často i mikrolity augitu. V úhlových meziprostorách mezi paprscitými útvary je chloritizovaná mezostáze, tu a tam křemen, prehnit, pumpellyit, zoisit, klinozoisit, aktinolit aj.

*Struktura divergentně paprscitá* (Vugnat 1946), blízce příbuzná půdešlém, vyskytuje se namnoze za podobných podmínek. Paprscitě rozšířavé shluhy živcových lišť jsou někdy k sobě hustě nahromaděné, ne-tvoří však kulovité nebo snopkovité útvary (srov. příl. XXII/3, 4). Živcové lišty se směrem k periferii často keřovitě, někdy i mnohonásobně, rozvětvují — *struktura arborescentní* (Vugnat 1946), srov. náběh k ní na příl. XXII/4. Mezi keřičkovitými živci je chloritizovaná mezostáze.

*Struktura sférokystalická* (příl. XXI) byla zjištěna v některých holokrystalických keratofyrech. V krystalické základní hmotě jsou kulaté sférokristaly o průměru 1–2 cm, poměrně hrubě strukturované, tvořené radiálně rozšířavými lištami alkalického živce, nejčastěji albitu.

*Struktura intersertální* (příl. XXIII) je nejčastějším strukturním typem našich metabazaltů a spilitů. Živcové lišty, někdy prohnuté (příl. XXIII/3) nebo kostrovité (příl. XXII/1, 2), různě hustě seskupené, jen někdy s náznakem usměrnění, vymezují drobná políčka, vyplněná chloritizovanou mezostází, tj. chloritizovaným (palagonitizovaným) sklem. V metamorfovaných typech bývá sklo v různém stupni zatlačováno druhotnými produkty přeměny (chloritem, prehnitem, pumpellyitem, stilpnomelanem, zoisitem, klinozoisitem, aktinolitem, leukoxenem, křemenem aj.). Z mezerních políček pronikají druhotné minerály často do živců a částečně nebo i úplně je zatlačují — struktura *apointersertální* (srov. Polovinka 1948, 1966).

*Struktura spilitická*, někdy uváděná jako samostatná, je podtypem struktury intersertální. Mezi lištovitými živci, někdy částečně přeměněnými, je větší podíl základní hmoty, přeměněné a silně zatlačované druhotnými produkty.

*Struktura intergranulární* (Holmes 1930) je u našich metabazaltů a spilitů stejně hojná jako struktura intersertální (srov. příl. XXIV). Políčka mezi různosměrnými lištami živců jsou v typickém vývoji vyplněná několika zrnky augitu, někdy s přidruženým magnetitem nebo (často leukoxenizovaným) ilmenitem, popř. kalcitem a chloritem. Struktura intergranulární často přechází do intersertální nebo mikrovariolitické. V mezerách mezi lištami živců se vyvíjejí drobné augitové mikrolity, často zřetelně kolmo orientované ke hraně sousedního živce. Někdy tato augitová zrnka jeví zřejmou tendenci k srůstání a vytváření větších jedinců shodně opticky orientovaných. Při větším rozsahu tohoto procesu vzniká přechod k struktuře ofitické, popř. poikilofitické.

*Struktura hyaloofitická*: všeobecně orientované živcové lišty, které se svými konci často dotýkají, vytvářejí trojboká políčka, vyplněná sklem. Tento typ struktury, v našich proterozoických vulkanitech jen málo zastoupený, nalezneme místy v okrajových zónách lávových polštářů.

*Struktura subofitická* navazuje plynule na strukturu intersertální. Prostor mezi živci je vyplněn jen jediným zrnem augitu. Tuto strukturu potkáváme dosti často v zrnitějších, pomaleji utuhlých částech metabazaltových, popř. spilitových proudů. V literatuře bývá tento typ často označován jako struktura ofitická a aplikován na diabasové a gabroidní horniny. Zavarickij (1932) jej označil jako „diabasová struktura s.s.“. Je-li subofitická struktura postižena přeměnou, modifikuje se ve strukturu reliktně subofitickou (příl. XXV/2).

*Struktura ofitická* („diabasově ofitická s.s.“ — Zavarickij 1932 a 1955): pyroxenová výplň mezerních políček mezi živci se zvětšuje, někdy lze pozorovat vznik většího pyroxenového jedince srůstem několika zrn menších. Do okrajů větších pyroxenů vrůstají konce lišť a tabulek

živcových, někdy čerstvých, jindy albitizovaných, popř. zatlačovaných druhotními produkty (pak struktura *reliktně ofitická*). Ofitická struktura, typická především pro diabasy, vystupuje i v doleritických typech původních těles metabazaltů, ojediněle i v jádrech velkých výlevů. Srovnajte příl. XXV/1 a XXVI/1.

*Struktura poikilofitická*: lišty a tabulky plagioklasů jsou zcela uzavírány ve velkých zrnech pyroxenů (příl. XXV/3 a 4). Tato struktura je velmi hojná v databasech, vystupuje i v metabazaltech původních těles nebo v jádrech mocnějších proudů, výjimečně v centru velkých polštářů. Ve starší literatuře bývá obyčejně spojována se strukturou ofitickou.

Přechodní typ struktury od hyaloofitické k ofitické bývá někdy uváděn jako *struktura tholeiitická* (Polovinka 1966, I, s. 155). Zavarickij (1955) jej uvažuje jako podtyp struktury diabasově ofitické.

*Struktura doleritická*, popř. mikrodoleritická, představuje jako strukturní pojem nepřesný termín. Nejčastěji bývá uvažována ve smyslu struktury intergranulární (prostor mezi živci vyplňuje několik zrn augitu). Pro označení struktury je to termín zbytečný a nepřesně široký. Je to však vhodný souhrnný název pro označení zrnitého vývoje bazických vulkanitů.

*Struktura gabrová*, charakteristická pro gabroidní intruzíva; někdy se objevuje i v holokrystalických jádrech velkých diabasových a metabazaltových loží. Krystaly bazických plagioklasů, pyroxenů, popř. i olivínu, xenomorfě omezené, vyplňují prostor a nedokonalým krystalovým omezením ukazují na přibližně současnou krystalizaci součástek.

*Struktura trachyticke* (příl. XV): mezi fluidálně usměrněnými lištami albitu, popř. anortoklasu, je malý podíl chloritu, někdy i biotitu (příl. XV/2). Je to nejběžnější a typická struktura keratofyrů, jak lépe krystalovaných až holokrystalických, tak i velmi drobně krystalických až mikrolitických. Někdy je tato struktura doplněna porfyrickými vrostlicemi úzce tabulkovitého albitu (příl. XXVII/3), popř. anortoklasu. Podstatný a zásadní rozdíl této struktury slabě alkalických keratofyrů a trachytů proti strukturám alkalicko-vápenatých křemenných albitofyrů davelské skupiny zdůraznil Fiala (1976).

*Struktura prismaticky zrnitá* (Levinson Lessing 1888, Zavarickij 1955) je vysloveně zrnitá trachytoidní struktura s hustým nahloučením úzce tabulkovitých živců. Tento termín, zpřesňující terminologii, se u nás zatím málo uplatnil (srov. příl. XXVI/2).

*Struktura bostonitová*, blízká trachyticke, je charakterizována omezeným stupněm fluidální textury lišť alkalických živců (albitu, anortoklasu, popř. K-živce), uspořádaných více méně rozbíhavě. V mezerách mezi živci je něco chloritu, příp. biotitu. Tuto strukturu mají některé keratofry v centrální části větších těles.

*Struktura mikrogranitická:* jemnozrnný agregát xenomorfních, popř. hypidiomorfních zrn křemene, kyselých živců a něco tmavých součástek (biotitu, chloritu, rud). Vystupuje nejčastěji v základní hmotě kyselých vulkanitů, tj. křemenných porfyrů, křemenných albitofyrů, ryolitů, dacitů, někdy i andezitů.

*Struktura panxenomorfně (panallotriomorfně) zrnitá* je charakteristická pro kyselé a intermediární intruzívni magmatity. Všesměrně zrnitý agregát xenomorfních zrn bez krystalového omezení byl zjištěn např. v albititu z údolí Lipíže u Dobříše, srov. příl. XXVI/3.

*Struktury porfyrické:* Již uvedené struktury, pokud mají více méně stejnoměrný vývoj, bez zřetelných větších jedinců, lze souhrnně označit jako *struktury afyrické*. Od nich odlišujeme *struktury porfyrické*, u nichž vystupují ve sklovité, polosklovité nebo jemně až drobně krystalické základní hmotě větší, krystalově omezené vrostlice minerálů starší generace. U některých ložních těles keratofyrů a albitofyrů se zrnitějším vývojem struktury lze někdy odlišit *strukturu porfyrovitou*, pokud větší, velikostí a aspoň částečně lepším omezením zvýrazněné vyrostlice vznikaly více méně současně s krystalizací svého okolí, bud' následkem rychlejšího růstu některých jader nebo spojováním několika sousedních jedinců. To je běžný případ u intruzívních magmatitů. Při podrobnějším rozlišování lze u porfyrických struktur vedle normálního typu rozlišit *strukturu oligofyrickou*, s malým podílem vrostlic vzhledem k základní hmotě, *strukturu nevaditickou* (nevaditicky porfyrickou), u níž **velký** podíl vrostlic zřetelně až značně převyšuje podíl základní hmoty, a *strukturu kryptovou* (Duparc a Pearce 1905, Polovinka 1948 a 1966), u níž je základní hmota omezena jen na výplně úhlových mezer mezi většími součástkami. Pokud tvoří porfyrické vrostlice nápadné shluky, mluvíme o *strukturě glomeroporfyrické*, srov. příl. XXVII/I a XXIX/2.

*Struktura hypokrystalický porfyrická:* ve sklovité nebo hypokrystalické základní hmotě jsou vrostlice živců, někdy i pyroxenu, amfibolu, nebo biotitu a křemene. Vrostlice bývají někdy korodované (příl. XXVII/1, 2). Původní sklo základní hmoty je u bazických vulkanitů často zatlačeno chloritem, popř. prehnitem, pumpellyitem, atd., u kyselých typů bývá změněno (odskelelno) ve felzit.

U bazických typů našich proterozoických vulkanitů bývá porfyrická struktura vyvinutá jen v menším rozsahu a to hlavně u jejich mladších typů. K nim patří: Spilitické porfyry s vrostlicemi albitu, popř. albitizovaného andezínu, v základní hmotě drobně intersertální struktury (Skryje, Klíčava, Bratronice, Zhůř, Chocenice aj. — srov. příl. XXVII/1). — Andezito-bazaltové metaporfyry s prehnitizovanými a pumpellyitizovanými vrostlicemi oligoklasu až andezínu ze širšího okolí Křivoklátu

(Račice, Amalín, Malá Buková, Týřovice aj.). Labradoritové andezito-bazaltové porfyry od Čenkova a Veliké Vsi na Kralupsku s třemi generacemi živců a podobné horniny z úseku mezi Roupovem (jz. Plzeňsko) a Biřkovem (Chudenicko). — Pyroxenické andezito-bazaltové porfyry hřebene Valachová u Skřivaně na Rakovnicku, andezitového vzhledu, ale značně bazické (srov. tab. 1), s glomeroporfyrickými shluky albítu (příl. XXIX/2) a pigeonit-augitu, částečně chloritizovanými a resorbovanými v intergranulární základní hmotě. Podobně horniny od Malé Bukové mají v intersertální základní hmotě vrostlice diopsidického augitu (příl. XXVII/2), resorbovaných živců a mastkových pseudomorfóz po olivínu. — Augitické porfyry, většinou uralitizované až amfibolizované, z j. části Blovicka (příl. XXIX/1), místy zrohovcovatě kontaktním vlivem **sousední žuly**. — Výrazně porfyrickou strukturu mají alkalicko-vápenaté vulkanity davelské skupiny, tj. křemenné albitofyry od Zbraslaví, Davle, popř. Dobříše (příl. XXVIII/2), a propylitizované biotiticko-amfibolické porfyry (andezity) okolí Mníšku. Jejich široce tabulkovité vrostlice albítu jsou zcela odlišného typu proti úzkým vrostlicím keratofyrů s.s. Blovicka a Příbramska (příl. XXVII/3 a XXVIII/2).

*Struktury pyroklastické* jsou charakteristické pro produkty explozivního vulkanismu. Sopečné tufy jsou někdy stejnomořně zrnité. Pak lze podle velikosti zrna rozlišit jemnozrnné *popelové*, drobně zrnité *pískové* a středně až hrubě zrnité *lapilové tufy*. Explozivně vyvržený materiál, převážně střípkovitých tvarů, je v nich hustě nahloučen s malým podílem pojiva. Většinou jsou však struktury tufů nestejnomořně zrnité. Klasty, tj. lapily a fragmenty minerálů, skel a polosklovitých vulkanitů jsou spojeny jemnozrnou základní hmotou v podstatě stejného složení. Pak lze rozlišit *strukturu vitroklastickou* (příl. XXXI/2) se sklovitými klasty (tufty metabazaltů, spilitů, částečně keratofyrů a křemenných albitofyrů), *strukturu litoklastickou* s fragmenty částečně vykrystalovaných láv (příl. XXXI/1 a XXXII/2) a *strukturu krystaloklastickou* s fragmenty křemene, živců, někdy i tmavých součástek, zvlášť běžnou u křemenných albitofyrů. Častější jsou však struktury smíšeného typu: vitrolitoklastická (příl. XXX/2), vitrokrytaloklastická, litovitroklastická, litokrytaloklastická, krystalolitoklastická (příl. XXXII/1) a krystalovitroklastická.

*Struktura ignimbritová* je charakterizována usměrněnými, protaženými a na koncích často roztrženými sklovitými, popř. felzoidními nebo polosklovitými „plaménky“ („fiamme“). Její náznaky byly pozorovány v tufech křemenných albitofyrů z vrtů v okolí Mníšku (srov. Fiala 1977, str. 159; 1976, str. 42 a pl. VII, VIII).

*Struktura klastolávová* je strukturou silně proplyněné a trhající se lávy, kde však tlak unikajících plynů už nestačil k explozi. Protáhlé

útvary sklovité až polosklovité struktury spolu částečně primárně splývají, částečně byly dodatečně zpečeny. Meziprostory jsou vyplněny sklem (příl. XXX/1). Struktury tohoto typu byly zjištěny místy v jz. části Blovice u keratofyrů a spilit-keratofyrů.

*Struktury metamorfní* jsou charakteristické pro vulkanity, především bazické, postižené metamorfními procesy. Polovinka (1948, 1966) uvádí pro struktury vulkanitů, jejichž původní sklo bylo nahrazeno druhotnými produkty, strukturní termíny s prefixem „apo-“ (struktura apovitrofyrická, apointersertální atd.). Tam, kde nové produkty metamorfózy přerůstají hranice primárních minerálů, dochází často k zastření původní struktury, která se pak jeví jako reliktní (srov. příl. XXXIII). Takové struktury jsou označované prefixem „blasto-“. Nejvýrazněji se projevuje vliv blastézy u zrnitých doleritických typů bazických vulkanitů (např. struktura blastoofitická), kde přerůstání mladšími minerály často znemožňuje přesnější vymezení původní jemnozrnné struktury (subofitické, intergranulární atd.), a u typů porfyrických, kde při zatlačení pyroxenu amfibolem je někdy i změněn původní krystalový tvar (příl. XXXV/3, 4).

U zelených břidlic, hojně zastoupených v z. části hlavní centrální vulkanické zóny, v zóně stříbrsko-plaské a v pruhu svojšinském jsou jednotlivé polohy často zvýrazněné i odlišnou strukturou, srov. příl. XXXIV. U mezizonálních amfibolitů Domažlicka a Klatovska a u kontaktních amfibolitů Jesenicka potkáváme zrnitější struktury, z nichž lze uvést několik výraznějších typů.

*Struktura granoblastická*, stejnoměrně xenomorfně zrnitá (srov. příl. XXXVI/1).

*Struktura granonematoblastická* s částečně paralelním vývojem amfibolu.

*Struktura nematoblastická* s výrazným uspořádáním usměrněných amfibolových sloupečků (příl. XXXVI/2, 3).

*Struktura diablastická*, při níž je amfibol prorůstán křemenem nebo živcem (příl. XXXVI/4).

*Struktura fibroblastická*, při níž aktinolit, popř. zelený amfibol, tvoří shluky a svazky tenkých jehliček (příl. XXXV/1, 2).

*Struktury kataklastické* vznikají podrcením horniny následkem směrného tlaku v tektonicky postižených pásmech. Výrazně se uplatňují v horninách zrnitých, např. v albititech (příl. XXVI/4). Případně lze rozlišovat větší počet typů, např. struktura maltová, mylonitická, ultra-mytonitická apod. U tektonicky postižených bazických metavulkanitů a metatufů se současně uplatňují i modifikace jejich ložních textur.

K tisku doporučil F. Fediuk

## L iteratura

- Carlisle D. (1963): Pillow breccias and their aquogene tuffs, Quadra Island, British Columbia. — *J. Geol.*, 71, 48—71. Chicago.
- Carlisle D. - Susuki T. (1974): Emergent basalt and submergent carbonate-clastic sequences including the Upper Triassic Dilleni and Welleri Zones on Vancouver Island. — *Canad. J. Earth Sci.*, 11, 254—279. Ottawa.
- Carstens H. (1964): On the variolitic structure. — *Norg. geol. Unders.*, 223, 26—42. Oslo.
- Duparc L. - Pearce F. (1905): Recherches géologiques et pétrographiques sur l'Oural du Nord dans la Rastesskaya et Kizelowskaya Datscha. — *Mém. Soc. Phys. Hist. natur. Genève*, 34, 5.
- Favorskaja M. A. (1963): Petrografičeskie kriterii likvacií v kislych lavach. Vvedenie. — *Trudy Inst. Geol. rud. Mestorožd. Petrogr. Mineral. Geochim.*, 90. Moskva.
- Fiala F. (1966a): Some results of the recent investigation of the Algonkian volcanism in the Barrandian and the Železné hory areas. — In: Fediuk F. - Fišera M. (eds.): *Paleovolcanites of the Bohemian Massif*, 9—29, Karl. Univ., Praha.
- (1966b): The Silurian diabase volcanism of the Barrandian area. — In: Fediuk F. - Fišera M. (eds.): *Paleovolcanites of the Bohemian Massif*, 153—165, Karl. Univ., Praha.
- (1967): Algonkian pillow lavas and variolites in the Barrandian area. — *Sbor. geol. Věd*, Geol., 12, 7—65. Praha.
- (1970): Silurské a devonské diabasy Barrandienu. — *Sbor. geol. Věd*, Geol., 17, 7—89. Praha.
- (1974): Účast likvace v procesu diferenciace proterozoických vulkanitů. — In: Pouba Z. (ed.): *Korelace proterozoických a paleozoických stratiformních ložisek*, 2, 109—121. — Karl. Univ. Praha.
- (1976): Calc-alkaline trends of the Proterozoic volcanics of the Barrandian. — *Čas. Mineral. Geol.*, 21, 31—54. Praha.
- (1977): Proterozoický vulkanismus Barrandienu a problematika spilitů. — *Sbor. geol. Věd*, Geol., 30. Praha.
- Gélinas L. - Brooks C. - Trzcienski W. E. Jr. (1976): Archean variolites - quenched immiscible liquids. — *Canad. J. Earth Sci.*, 13, 210—230. Ottawa.
- Giljarova E. A. (1959): Šarovyje lavy Suisarskogo rajona Južnoj Karelii i problema genezisa šarovych lav. — *Učen. Zap. Leningr. gos. Univ. Ždanova, Ser. geol. Nauk*, 268, 10. Leningrad.
- Hejtmán B. (1956): Všeobecná petrografie vyvřelých hornin. — Nakl. Čs. akad. věd. Praha.
- Hentschel H. (1963): In-situ-Brekzien der unterkarbonischen Pillowdiabase des Dilgebietes im Rheinischen Schiefergebirge. — *Bull. volcanol.*, Sér. 2, 25, 97—107. Napoli.
- Holmes A. (1920): The nomenclature of petrology. London.
- Kettner R. (1943): Všeobecná geologie. Část II. Složení zemské kůry. Vznik hornin a ložisek. — Melantrich. Praha.
- Kuznecov F. A. (1956): Petrografija magmatičeskikh i metamorfičeskikh porod. — Izdat. Mosk. gos. Univ. Moskva.
- Levinson-Lessing F. Ju. (1888): Oloneckaja diabazovaja formacija. — *Trudy SPb. Obšč. Jestestvoispyt.*, Otd. Geol. Mineral., 19. Leningrad.

- Levinson-Lessing F. Ju. (1905): Sferolitovyje porody Mugodžarskich gor. — Trudy SPb. Obšč. Jestestvoispyt., 33, 5, 131—135. Leningrad.
- (1935): O svojebraznom tipe differenciacii v variolite Jalguby. (Primer likvacií magmy na dve nesmešivajuščiesja žídkosti.) — Trudy Petrogr. Inst. F. Ju. Levinson-Lessinga, 5, 21—27. Leningrad.
- Měska G. - Fiala F. (1948): Několik poznámek o typech diabasových hornin v Barrandienu. — Čas. Nář. Muz., Odd. přírodnověd., 117, 149—166. Praha.
- Milch L. (1912): Die primären Strukturen und Texturen der Eruptivgesteine. — Fortschr. Mineral., 2, 163—207. Stuttgart.
- Moore J. G. (1970): Water content of basalt erupted in the ocean floor. — Contr. Mineral Petrology, 28, 272—279. Berlin, New York.
- Pääkola J. (1971): The volcanic complex and associated manganiferous iron formation of the Porkonen-Pehtavaara area in Finnish Lapland. — Bull. Comm. géol. Finl., 247. Otaniemi.
- Philpotts J. (1978): Textural evidence for liquid immiscibility in tholeiites. — Mineral Mag., 42, 417—425. London.
- Polovinkina Ju. I. (1948): Struktury gornych porod, I. Magmatičeskije porody. — Gosgeolizdat, Moskva — Leningrad.
- (1966): Struktury i tekstury izveržennych i metamorfičeskikh gornych porod, I—III. — Nedra, Moskva.
- Rittmann A. (1958): Il meccanismo di formazione delle lave a pillows e dei cosiddetti tufi palagonitici. — Boll. Accad. Gioenia Sci. Nat., Sér. IV, 311—318. Catania.
- Sæmundsson K. (1967): Vulkanismus und Tektonik des Hengill-Gebietes in Südwest-Island. — Acta natur. island., 2, 1. Reykjavík.
- Slavík F. (1909): Spilitické vyvřeliny v prekambriu mezi Kladnem a Klatovy. — Arch. přírodonověd. Prozk. Čech, 14, 2. Praha.
- (1927): O „polštářových lávách“ (pillow lavas) českého algonkia. — Čas. Nář. Muz., Odd. přírodnověd., 101, 1—9. Praha.
- (1928): Les „pillow lavas“ algonkiennes de la Bohême. — C. R. 14<sup>e</sup> Congr. Géol. Int., 1389—1395. Madrid.
- Tazieff H. (1973): About deep-sea volcanism. — Rc. Soc. ital. Mineral. Petrologia, 292, 427—436. Milano.
- Vuagnat M. (1946): Sur quelques diabases suisses. Contribution à l'étude du problème des spilites et des pillow lavas. — Schweiz. mineral. petrogr. Mitt., 26, 216—228. Zürich.
- Zavarickij A. A. (1929): Opisatel'naja petrografija. — Litogr. izd. Kubuč.
- (1932): Peridotitovyj massiv Raj-Iz v Poljarnom Urale. — Vsesojuz. geol.-razv. Obšč. Leningrad — Moskva.
- (1955): Izveržennyje gornye porody. — Izdat. Akad. nauk SSSR. Moskva.

## Vysvětlivky k příloham I—XXXVI

Příl. I

- Spilitová polštářová láva v lomu u Mítova: přední (jižní) stěna původní ochranné kulisy s žilou albitického diabasu.
- Spilitová polštářová láva s žilou albitického diabasu v s. stěně původní ochranné kulisy v lomu u Mítova.
- Čelo téžé původní ochranné kulisy v lomu u Mítova.

Foto F. Fiala

Příl. II

1. Spilitová polštářová láva na j. svahu Bukové hory sv. od Měcholup.
2. Dto — detail. Tamtéž.

Foto F. Fiala

Příl. III

1. Spilitové polštáře z lomu u Koterova.
2. Jemně mandličkovitý okraj spilitového polštáře, patrný na příčné diakláze. Lom u Koterova.

Foto F. Fiala

Příl. IV

1. Variolitická textura metabazaltového polštáře. Západně od Svinné, při silnici ke Kamenci.
2. Variolitická textura metabazaltového polštáře, jiný řez. Tamtéž.

Foto ÚÚG — H. Vršalová

Příl. V

1. Splývání variol v okraji metabazaltového polštáře dokumentuje jejich původní kapkovitý tvar a vznik likvací. Západně od Svinné, při silnici ke Kamenci.
2. Variolitický draselný spilit. Jihozápadně od Rousínova, z. svah Ostrého vrchu.

Foto ÚÚG — H. Vršalová

Příl. VI

1. Metabazaltová polštářová brekcie (pillow breccia). Jižně od Zbečna, skály nad levým břehem Berounky, ca 350 m jz. od nádraží.
2. Metabazaltová polštářová brekcie. Tamtéž, detail.

Foto F. Fiala

Příl. VII

1. Metabazaltová granulační brekcie, původně sklovitá. Lišice, opuštěný lom při v. konci vsi.
2. Dto — detail. Tamtéž.

Foto F. Fiala

Příl. VIII

1. Proterozoická grafitoidní břidlice s hnázdečky a nástříky spilitu. Typově blízká peritu. Koterov, lom. Zvětšeno 6X, bez nikolů.
2. Granulát až peperit keratofyrový. Hřešihlavý (V), j. od Rybárny, 100 m od ústí potoka Radubice do Berounky. Zvětšeno 6X, nikoly XX.

Foto ÚÚG — D. Hejdová

Příl. IX

1. Peperit metabazaltový, s malým podílem sedimentární výplň mezi fragmenty vulkanitu, Březové Hory, šachta Anna, 30. patro, s. překop pod šachtou Lill. Zvětšeno 18,5X, bez nikolů.
2. Peperit metabazaltový s velkým podílem mezerní břidličné hmoty. Březové Hory, šachta Anna, 30. patro, čelba odbočky po Bezejmenné žíle ze s. překopu pod šachtou Lill. Zvětšeno 14X, bez nikolů.

Foto ÚÚG — D. Hejdová

Příl. X

1. Perlitická textura kyselého trachytového skla. Chocenice (ZSZ), svah návrší Malého Chlumku. Zvětšeno 16X, bez nikolů.

2. Perlitická textura trachytového skla. Chocenice (Z), návrší Velký Chlumek, 100 m jjv. od vrcholu. Zvětšeno 16X, bez nikolů.
3. Perlitická textura trachytového skla. Chocenice (Z), v. úpatí Velkého Chlumku, sonda č. 184. Zvětšeno 16X, bez nikolů.

Foto ÚÚG — D. Hejlová

Přísl. XI

1. Granulované fluidální sklo z mezerní výplně metabazaltové polštářové lávy. Svinná (Z), při silnici ke Kamenci. Zvětšeno 15X, bez nikolů.
2. Spilitová sklovitá láva, fluidální textura. Žitín (VSV), 950 m sv. od dvora, v poli, 50 m od cesty k Jarovu. Zvětšeno 11,5X, bez nikolů.

Foto ÚÚG — 1 S. Bártlová, 2 D. Hejlová

Přísl. XII

1. Metabazaltová sklovitá granulační brekcie. Kotrov (SV), lom na j. úpatí Háje, j. stěna. Zvětšeno 6X, bez nikolů.
2. Granulované fluidální sklo z mezerní výplně metabazaltové polštářové lávy. Kotrov (V), opuštěný lom při silnici k Starému Plzenci. Zvětšeno 18,5X, bez nikolů.

Foto ÚÚG — S. Bártlová

Přísl. XIII

1. Sklovitá granulační brekcie z mezerní výplně metabazaltové polštářové lávy. Letkov (J), lom. Zvětšeno 18,5X, bez nikolů.
2. Sklovitý granulátový tuf metabazaltu. Nezabudice (JV), nad silnicí ke Křivoklátu. Zvětšeno 18,5X, bez nikolů.

Foto ÚÚG — S. Bártlová

Přísl. XIV

1. Sklovitá granulační brekcie metabazaltu. Zbečno (JV), lom proti nádraží. Zvětšeno 22,5X, bez nikolů.
2. Fluidálně texturovaný metabazaltový sklovitý granulát. Týřovice (SSV), j. rozsocha Písářova vrchu. Zvětšeno 11,5X, bez nikolů.

Foto ÚÚG — 1 D. Hejlová, 2 S. Bártlová

Přísl. XV

1. Fluidální textura keratofyru. Měcholupy (SV), 710 m s. od kóty 650, polesí Chýlava. Zvětšeno 15X, nikoly XX.
2. Fluidální textura kontaktně metamorfovaného biotitického spilit-keratofyru. Měcholupy (VSV), vrchol hřebene kóty 616. Zvětšeno 17,8X, nikoly XX.
3. Páskovaná eutaxitická textura křemenného keratofyru. Jednotlivé polohy diferencované složením i velikostí zrna. Jarov (Blovicko), z. od obce, v. část hřebene Chroustova. Zvětšeno 9,4X, bez nikolů.
4. Fluidální textura keratofyru. Hřešihlavý (V), j. od Rybárny, ca 100 m před vyústěním rokle do údolí potoka Radubice. Zvětšeno 18,4X, nikoly XX.

Foto ÚÚG — 1, 3, 4 D. Hejlová, 2 S. Bártlová

Přísl. XVI

1. Mandlovcová textura keratofyru (albitického porfyritu). Měcholupy (SV) 200 m jjz. od kóty 616, z tufů. Zvětšeno 54X, bez nikolů.
2. Mandličkovitá textura sklovitého spilitu, mandle chloritové. Měcholupy (SV), 550 m sv. od kóty 550, Buková hora. Zvětšeno 9,4X, bez nikolů.

3. Drobně mandličkovitá, původně jemně vesikulární textura spilitových fragmentů ze spilitového tufu. Měcholupy (SV), 500 m zjj. od kóty 550, Buková hora. Zvětšeno 4,9X, bez nikolů.
4. Dto — detail, týž výbrus. V mandličkách albít a chlorit. Zvětšeno 18,4X, bez nikolů.  
Foto ÚÚG — 1, 3, 4 D. Hejdová, 2 S. Bártlová

#### Příl. XVII

1. Mandlovcová textura metabazaltu, mandle křemenné i křemen-kalcitové. Březové Hory, šachta Anna, 30. patro, s. překop pod šachtu Lill. Zvětšeno 10X, nikoly XX.
2. Mandlovcová textura metabazaltu, mandličky vyplněné albitem a křemencem v hyalopilitické základní hmotě. Zvíkovec (J), výchoz v ohybu silnice. Zvětšeno 41X, nikoly XX.
3. Mandlovcová textura spilit-keratofyru. Albitem a křemencem vyplněné mandličky ve fluidální fezoidní až subvariolitické základní hmotě. Prádlo (Blovicko), z. od vsi, j. svah kóty 521, j. od samoty Chvostule. Zvětšeno 5,2X, nikoly XX.
4. Mandlovcová textura metabazaltu, mandle chloritové s kalcitovým jádrem a lemem v mikrovariolitické základní hmotě. Březové Hory, šachta Anna, 30. patro, s. překop pod šachtu Lill. Zvětšeno 50,4X, bez nikolů.

Foto ÚÚG — 1, 3, 4 D. Hejdová, 2 S. Bártlová

#### Příl. XVIII

1. Mandlovcová, tektonicky protažená textura spilitu, v mandlích kalcit. Měčín (13 km ssv. od Klatov), návrší sz. od vsi. Zvětšeno 18,5X, bez nikolů.
2. Mandlovcová fluidální textura metabazaltu, v mandlích směs chloritu, kaolinitu a křemene. Šlovice (jz. od Plzně), z. od vsi. Zvětšeno 73X, bez nikolů.

Foto ÚÚG — 1 D. Hejdová, 2 S. Bártlová

#### Příl. XIX

1. Variolitická textura metabazaltu, varioly velmi jemně strukturované, při malém zvětšení felzoidní. Základní hmota subvariolitické struktury. Svinná (Z), při silnici ke Kamenci. Zvětšeno 5X, bez nikolů.
2. Subvariolitická struktura metabazaltu. Račice (jv. od Křivoklátu), j. od vsi, jv. od Kamenných vrchů. Zvětšeno 18,6X, bez nikolů.
3. Subvariolitická struktura metabazaltu, silně granulovaného. V mezerách výplň křemene, chloritu a sericitu. Skřiváň (J)V, úpatí svahu nad Tyterským potokem, j. od kóty 367. Zvětšeno 18,5X, bez nikolů.
4. Variolit draselného spilitu s felzoidními i radiálně paprscitě strukturovanými variolami. Panoš Újezd (J), kóta 490 „Na hůrce“. Zvětšeno 18,9X, bez nikolů.

Foto ÚÚG — 1, 3, 4 S. Bártlová, 2 D. Hejdová

#### Příl. XX

1. Mikrovariolitická struktura metabazaltu. Skomelno, návrší jz. od Hůrky. Zvětšeno 17,6X, bez nikolů.
2. Dto — detail. Tamtéž. Zvětšeno 44,6X, bez nikolů.
3. Detail varioly metabazaltu. Mezi světlými paprsky živců proužky zrnec pidgeonitického augitu. Svinná (Z), při silnici ke Kamenci. Zvětšeno 152X, bez nikolů.
4. Detail varioly draselného spilitu. Mezi lištami živců chloritizované sklo s hojným leukoxenem a zbytky augitu. Pavlikov (J), návrší „Na stráži“ v. nad silnicí. Zvětšeno 152X, bez nikolů.

Foto ÚÚG — S. Bártlová

Příl. XXI

1. Sférokristalická struktura variolitického keratofyru. Jarov (Blovicko), s. od z. konce vsi, 250 m sv. od kóty 563. Zvětšeno 22,5X, nikoly XX.
2. Sférokristalická struktura kfemenného keratofyru. Velké Živcové sférokrystaly v základní hmotě implikačně strukturované. Újezdec (Merklínsko), Pteninská hora j. od vsi. Zvětšeno 21,7X, nikoly XX.

Foto ÚÚG — D. Hejdová

Příl. XXII

- 1 Kostrovité živce (oligoklas) v mikrovariolitickém metabazaltu. Týřovice (S), rokle jz. od Čertovy skály, 80 m z. od silnice. Zvětšeno 64,5X, bez nikolů.
- 2 Kostrovité živce v chloritizovaném skle hypokrystalického metabazaltu. Týřovice (SSZ), z. okraj Písářova vrchu. Zvětšeno 84X, bez nikolů.
3. Přechod struktury mikrovariolitické do divergentně paprsčité. Draselň spilit, lehce aktinolitizovaný. Rousínov (J), j. úpatí kóty 462 „Šípy“. Zvětšeno 16,3X, bez nikolů.
4. Divergentně paprsčitá struktura keratofyr-spilitu, lehce kontaktně metamorfovaného. Mezi svazky albitových lišt výplň ze živce a biotitu. Březí (Blovicko), v. od vsi, zářez silnice u dvora Žitín. Zvětšeno 49,8X, bez nikolů.

Foto ÚÚG — 1, 2, 4 D. Hejdová, 3 S. Bártlová

Příl. XXIII

1. Přechod struktury mikrovariolitické do intersertální. Týřovice (S), Čertova skála. Zvětšeno 19,8X, bez nikolů.
2. Přechod struktury divergentně paprsčité do intersertální. Račice (J), 130 m j. od kóty 409. Zvětšeno 66X, bez nikolů.
3. Intersertální struktura metabazaltu. Lišty kostrovitého albit-oligoklasu prohnuté; počínající aktinolitizace. Skomelno (J), návrší v. od Hůrky. Zvětšeno 19,8X, bez nikolů.
4. Intersertální struktura metabazaltu. Račice (J), jv. od Kamenných vrchů. Zvětšeno 66X, bez nikolů.

Foto ÚÚG — 1, 3 S. Bártlová, 2, 4 D. Hejdová

Příl. XXIV

1. Vývoj intergranulární struktury. Mezi lištami živců krystalují drobné sloupečky augitu, orientované přičně k živcům. Týřovice (S), rokle j. od Čertovy skály, 80 m z. od silnice. Zvětšeno 64X, bez nikolů.
2. Intergranulární struktura metabazaltu. Mezi lištami albit-oligoklasu výplň drobných zrnek pigeonitického augitu, albitu a chloritu. Šlovice (Z), j. svah kóty 394. Zvětšeno 16X, bez nikolů.
3. Intergranulární struktura metabazaltu. Mezi lištami živců zrnka augitu. Častonice (Křivoklátsko), z. bok údolí Berounky v. od kóty „Sokolík“. Zvětšeno 45,6X, bez nikolů.
4. Intergranulární struktura metabazaltu. Bučiny (V), sz. svah Černé skalky, 3 km jz. od Skryjí. Zvětšeno 46,4X, bez nikolů.

Foto ÚÚG — 1, 4 D. Hejdová, 2, 3 S. Bártlová

Příl. XXV

- 1 Reliktně ofitická struktura doleritického spilitu (albitického diabasu). Mezi tabulkami albitu uralitický amfibol, uzavírající zbytky pigeonitu, hojný leukoxenizovaný ilmenit, epidot, něco karbonátu. Srby (Blovicko), s. od vsi, návrší 150 m jjz. od kóty 560. Zvětšeno 18,8X, bez nikolů.

2. Reliktně subofitická struktura doleritického metabazaltu. Živce zjílovělé, v mezeřách chlorit po pyroxenu, ilmenit, něco albitu. Slabce [J], sv. svah údolí Modřejovického potoka. Zvětšeno 14X, bez nikolů.
3. Poikilofitická struktura doleritického metabazaltu. Lučiště (S), v. při silnici k Mirošovu. Zvětšeno 16,5X, bez nikolů.
4. Poikilofitická struktura doleritického metabazaltu, amfibolizovaného a saussuritizovaného. Chlumská (JZ), j. od silnice k Chudenicím. Zvětšeno 10X, bez nikolů.

Foto ÚÚG — 1, 4 D. Hejdová, 2, 3 S. Bártlová

#### Příl. XXVI

1. Ofitická struktura doleritického metabazaltu, aktinolitizovaného a zoisitizovaného. Biřkov (SV), kóta 481, vrt GP V-2, hloubka 66 m. Zvětšeno 46,6 X, bez nikolů.
2. Prismatická struktura doleritického keratofyr-spilitu. Mezi obdélníčkovými průřezy živců malý podl. výplní rudných zrnek a chloritu, něco křemene. Bzí (6 km jz. od Blovice), jjz. od vsi, 200 m z. od silnice. Zvětšeno 19,8 X, nikoly XX.
3. Holokrystická pan xenomorfne zrnitá struktura křemenného albititu. Dobříš (S), údolí Lipíž. Zvětšeno 5,3X, nikoly XX.
4. Kataklastická struktura mylonitizovaného křemenného dioritu. Dobříš (S), údolí Lipíž. Zvětšeno 5,3X, nikoly XX.

Foto ÚÚG — 1 S. Bártlová, 2, 3, 4 D. Hejdová

#### Příl. XXVII

1. Glomeroporfyrická struktura. Skupina chloritizovaných a částečně korodovaných vrostlic olivínu v subvariolitickém okraji metabazaltového polštáře. Zvíkovec (J), svah kóty 398 nad silnicí k Mlečicím. Zvětšeno 21,4X, bez nikolů.
2. Porfyrická struktura. Silně korodovaná a od korozí chloritizovaná vrostlice diopsidického pyroxenu v augitickém porfyritu. Malá Buková (Z), kóta 458 „Čihátko“. Zvětšeno 21X, bez nikolů.
3. Porfyrická struktura keratofyru. Úzce tabulkovitá vrostlice albitu v trachytoidní fluidální základní hmotě. Měcholupy (SV), 315 m jjz. od kóty 520. Zvětšeno 21X, bez nikolů.
4. Porfyrická struktura. Obrústání a zatlačování K-živce lamelovaným albitem ve fragmencu albitofyru z tufu. Zbraslav (J), lom Severokamene, 2. etáž. Zvětšeno 71,2X, nikoly XX.

Foto ÚÚG — 1, 3, 4 D. Hejdová, 2 S. Bártlová

#### Příl. XXVIII

1. Drobně porfyrická struktura spilitu. Chocenice (Z), jjz. úpatí Velkého Chlumku. Zvětšeno 54X, bez nikolů.
2. Porfyrická struktura albitofyru. Široce tabulkovité vrostlice albitu v drobně poikilický zrnité základní hmotě. Dobříš (S), hřeben v. nad údolím Lipíž. Zvětšeno 42X, nikoly XX.

Foto ÚÚG — D. Hejdová

#### Příl. XXIX

1. Porfyrická struktura amfibolického porfyritu (metaandezitobazaltu). Vrostlice přeměněných živců a zeleného amfibolu v mikrokryrstalické základní hmotě z amfibolu, živce a epidotu. Vrčeň (SSZ), při cestě k Srbům (Blovice). Zvětšeno 11,5X, bez nikolů.
2. Glomeroporfyrická struktura. Skupina plagioklasových vrostlic v pigeonitickém porfyritu. Skřivaň (JV), sv. svah Valachova, okraj polštáře. Zvětšeno 47X, bez nikolů.

Foto ÚÚG — 1 D. Hejdová, 2 S. Bártlová

Příl. XXX

1. Klastoláva keratofyr-spilitová. Fragmenty přeměněných skel a hypokrystalických spilitů a mandlovčí v podřízené chloritizované základní hmotě. Měcholupy (SZ), při cestě k Jarovu. Zvětšeno 18,5X, bez nikolů.
2. Vitrolitoklastická struktura keratofyr-spilitového tufu. Chocenice (ZSZ), 150 m z. od kóty 514. Zvětšeno 11,5X, bez nikolů.

Foto ÚÚG — D. Hejnová

Příl. XXXI

1. Metatuf paleobazaltový, litoklastická struktura. Minice (Kralupsko), sv. od vsi, návrší s. od kóty 236. Zvětšeno 11,5X, bez nikolů.
2. Vitroklastická struktura spilitového tufu. Měcholupy (S), 280 m z. od kóty 604. Zvětšeno 22,5X, bez nikolů.

Foto ÚÚG — D. Hejnová

Příl. XXXII

1. Krystalito-litoklastický tuf křemenného albitofyru. Zbraslav (J), lom Severokamene. Zvětšeno 19,8X, bez nikolů.
2. Litoklastický tuf křemenného albitofyru s fragmentem nevaditického albitofyru. Zbraslav (J), lom Severokamene „Na baních“. Zvětšeno 16,3X, bez nikolů.
3. Extruzívní brekcie křemenného albitofyru, krystalolitoklastická struktura. Davle, lom. Zvětšeno 5,3X, bez nikolů.
4. Brekciotitková struktura tufu křemenného albitofyru, s fragmenty perlitického skla. Zbraslav (J), nejjížnější lůmek při silnici k Davli. Zvětšeno 12,3X, bez nikolů.

Foto ÚÚG — D. Hejnová

Příl. XXXIII

1. Drobné sloupečky pumpellyitu v metabazaltu. Radnice (JJZ), sz. od Ovčírny. Zvětšeno 180X, bez nikolů.
2. Pumpellyit s křemenem v mandli granulovaného metabazaltu. Městečko (ZSZ), jz. svah údolí Rakovnického potoka. Zvětšeno 20,6X, bez nikolů.
3. Aktinolit pírůstá napříč lišťovitý živec metabazaltu. Hubenov (J), cesta k lesu Hřebensko. Zvětšeno 123X, bez nikolů.
4. Aktinolitizace metabazaltu. Jehličky aktinolitu pírůstají napříč přes živce a ostatní součástky aktinolitizovaného (kontaktně zdrohovcovatělého) metabazaltu. Dolce (J), návrší Jindřín (4,5 km jv. od Přeštic). Zvětšeno 171X, bez nikolů.

Foto ÚÚG — D. Hejnová

Příl. XXXIV

1. Ložní textura chloriticko-aktinoliticko-karbonatické zelené břidlice (metamorfovaného bazaltového tufu), detailně povrásněné. Radonice (J), lom na návrší „Na ovčině“, 6 km vsv. od Domažlic. Zvětšeno 22,5X, bez nikolů.
2. Ložní textura aktinolitizovaného paleobazaltového metatufu, detailně povrásněného. Liška (SZ), jz. úpatí Pušperku (Chudenicko). Zvětšeno 42X, bez nikolů.

Foto ÚÚG — S. Bártlová

Příl. XXXV

1. Spilit lehce aktinolitizovaný s relikty intersertální struktury, pírůstané jemně jehličkovitými agregáty aktinolitu (náběh k fibroblastické struktuře). Poleň (SSZ), 300 m z. od kóty 455. Zvětšeno 16,8X, bez nikolů.
2. Metabazalt silně aktinolitizovaný; vývoj struktury fibroblastické. Chlumská (J), z. svah hřebene Říčaje, v. nad Bělášovskou hájovnou. Zvětšeno 45X, bez nikolů.

3. Metabazalt silně aktinolitizovaný, mezi jehličkami aktinolitu tmavé shluky leukoxenu. Bukovec, s. svah údolí Berounky (sv. od Plzně). Zvětšeno 162X, bez nikolů.
4. Doleritický metabazalt silně amfibolizovaný. Uvnitř sloupců druhotného amfibolu zbytky augitu, v mezerách tmavé shluky leukoxenu. Druzová (JZ), v. svah údolí Berounky. Zvětšeno 20,2X, bez nikolů.

Foto ŚÚG — 1 D. Hejdová, 2, 3, 4 S. Bártlová

Příl. XXXVI

1. Granoblastická struktura amfibolitu — metamorfovaného paleobazaltu. Dlažov (ZJZ), kóta 642 s. od kostelíka Sv. Markéty. Zvětšeno 55,4X, bez nikolů.
2. Nematoblastická struktura amfibolitu — metamorfovaného paleobazaltu. Libkov (SV), lom na j. úpatí kóty 629. Zvětšeno 44,6X, bez nikolů.
3. Nematoblastická struktura amfibolitu — metamorfovaného paleobazaltu. Poleň (SSZ), kóta 488. Zvětšeno 37X, bez nikolů.
4. Diablastická struktura amfibolitu — metamorfovaného paleobazaltu. Sedliště (JJV), sv. pod kótou 512 „Chlumec“. Zvětšeno 37X, bez nikolů.

Foto ŚÚG — S. Bártlová



1



2



3

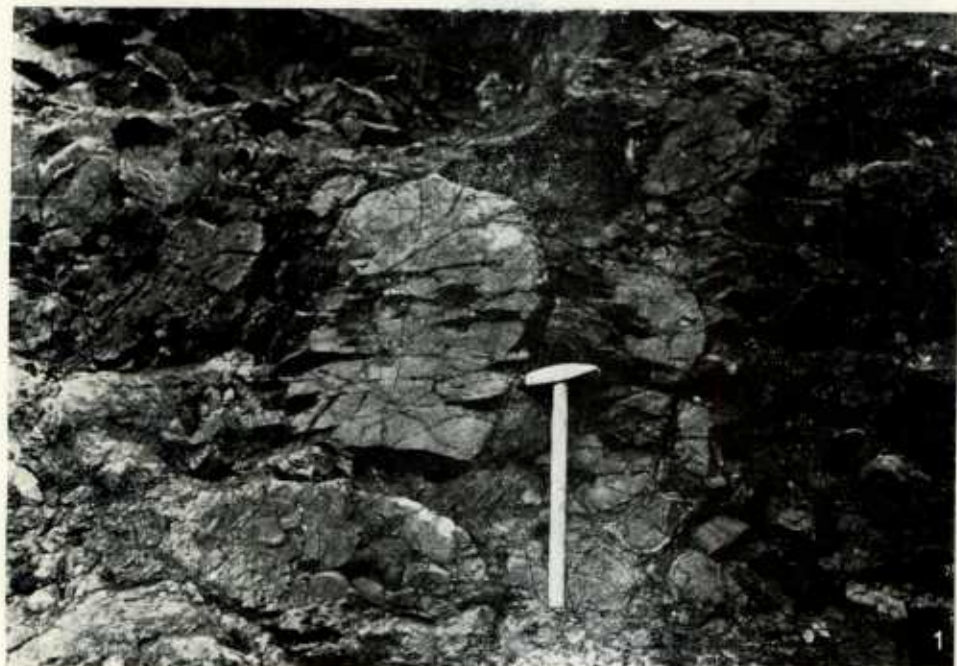
Vysvětlivky k plochám I—XXXVI viz str. 25—32



1

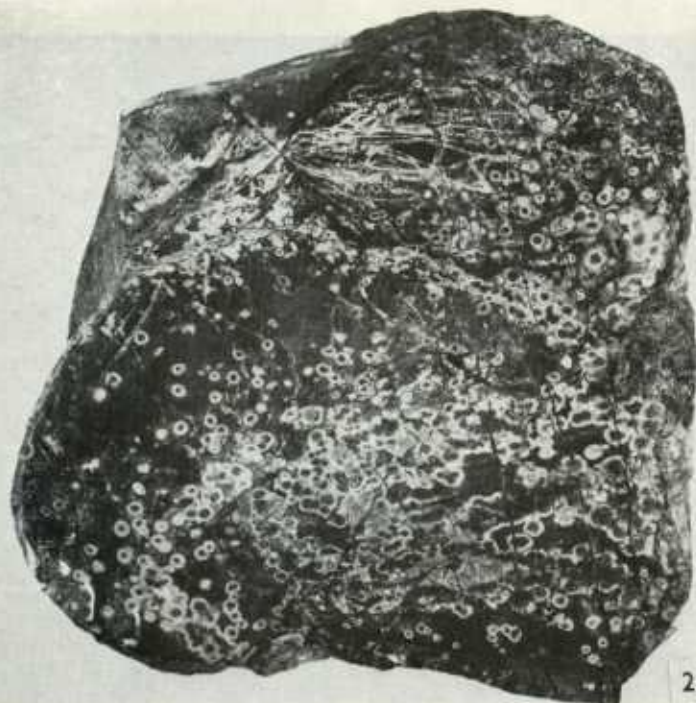


2

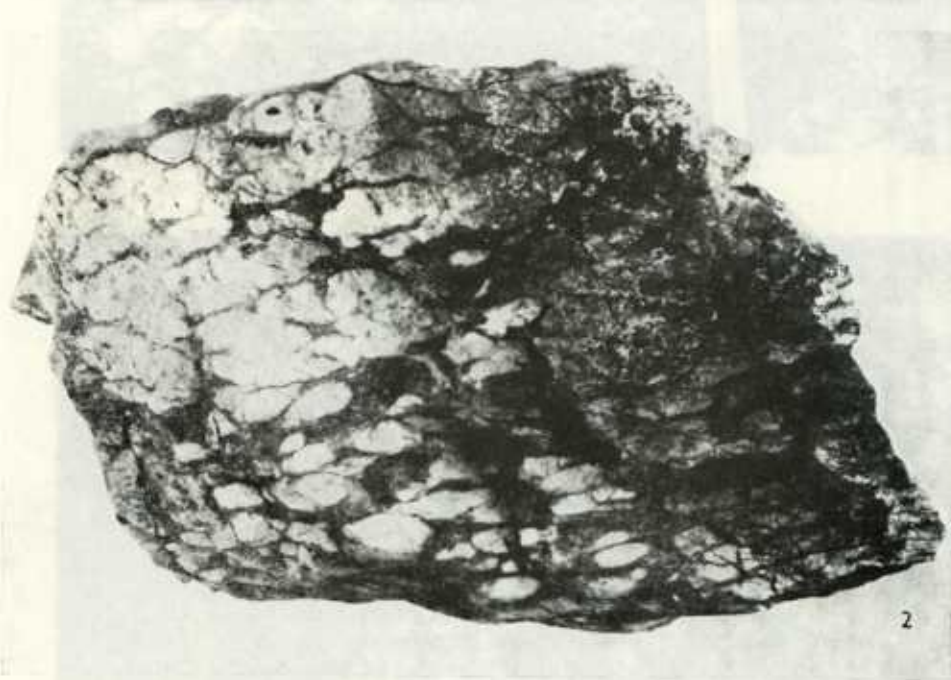
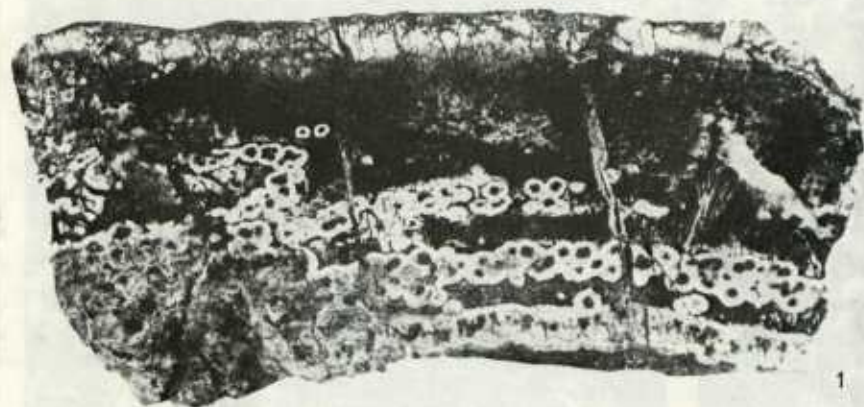




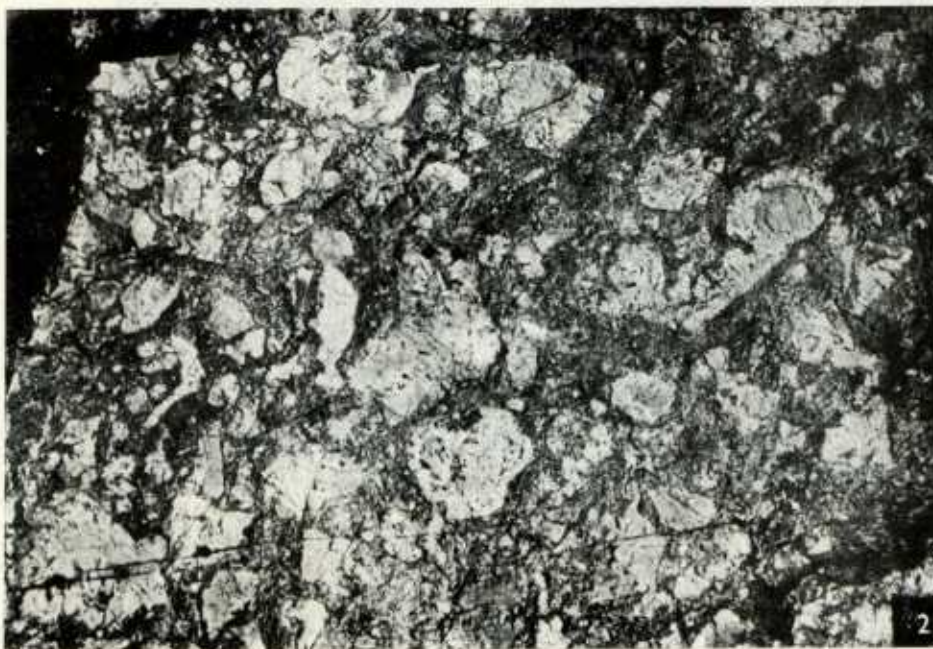
1

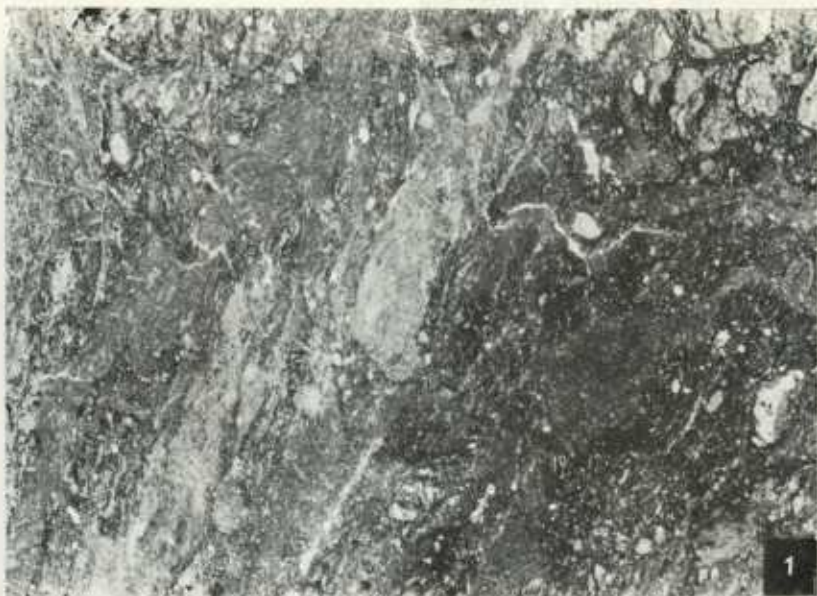


2







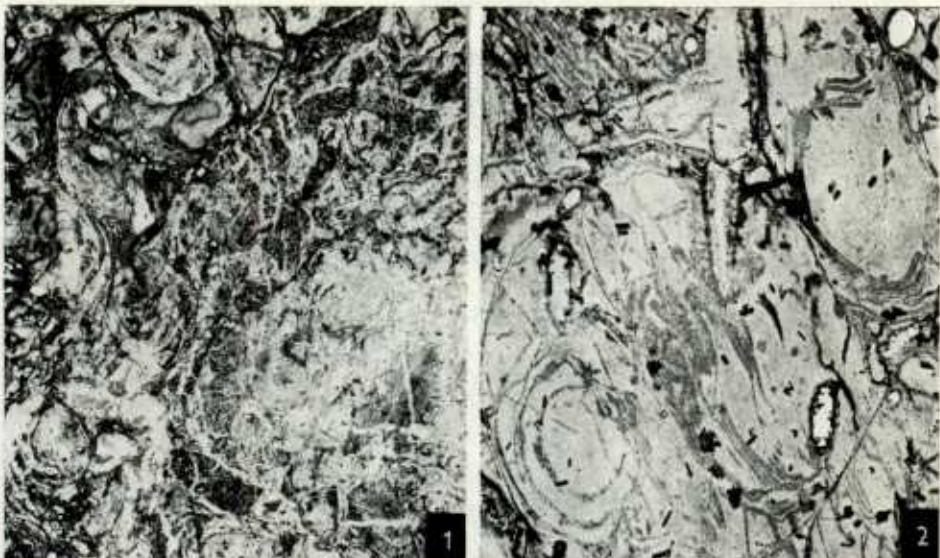


1



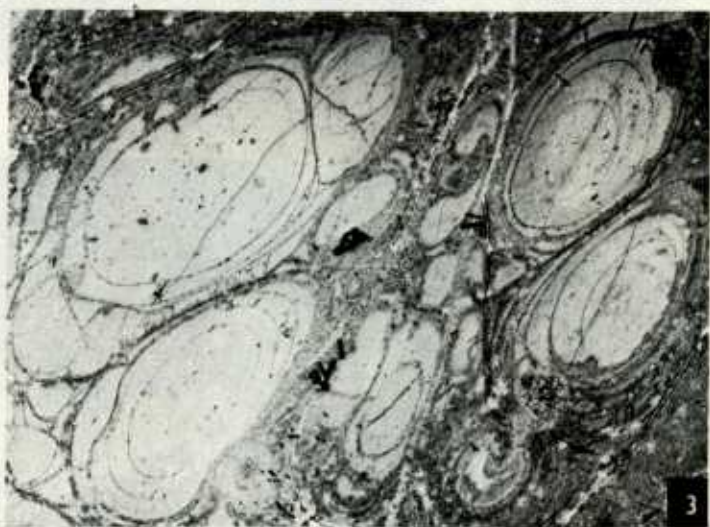
2





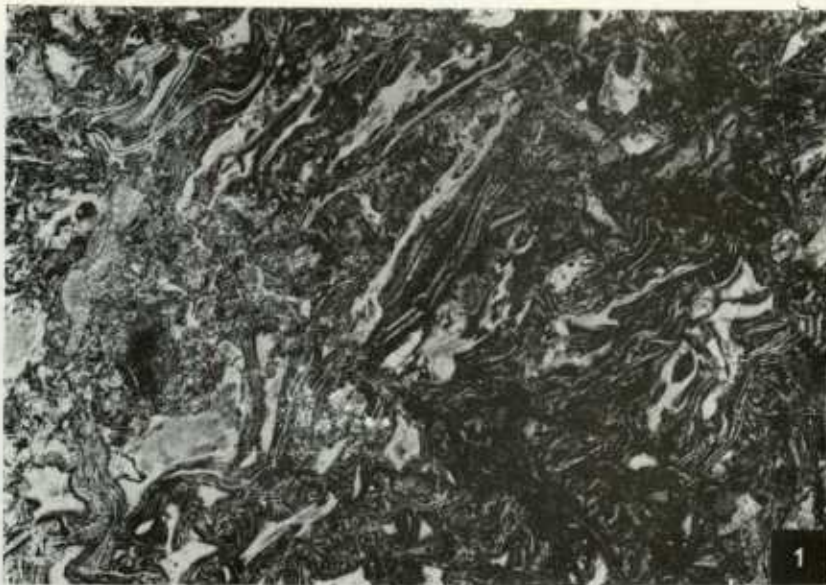
1

2



3



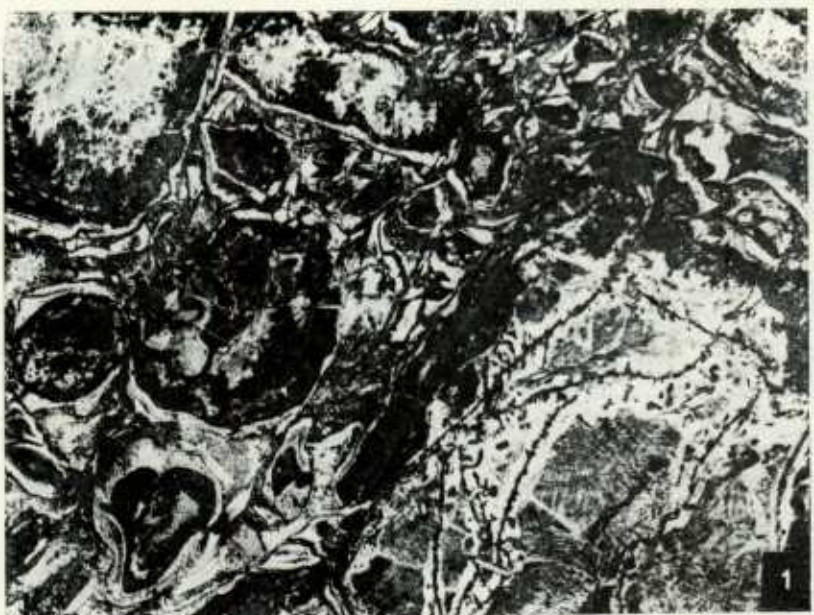


1



2

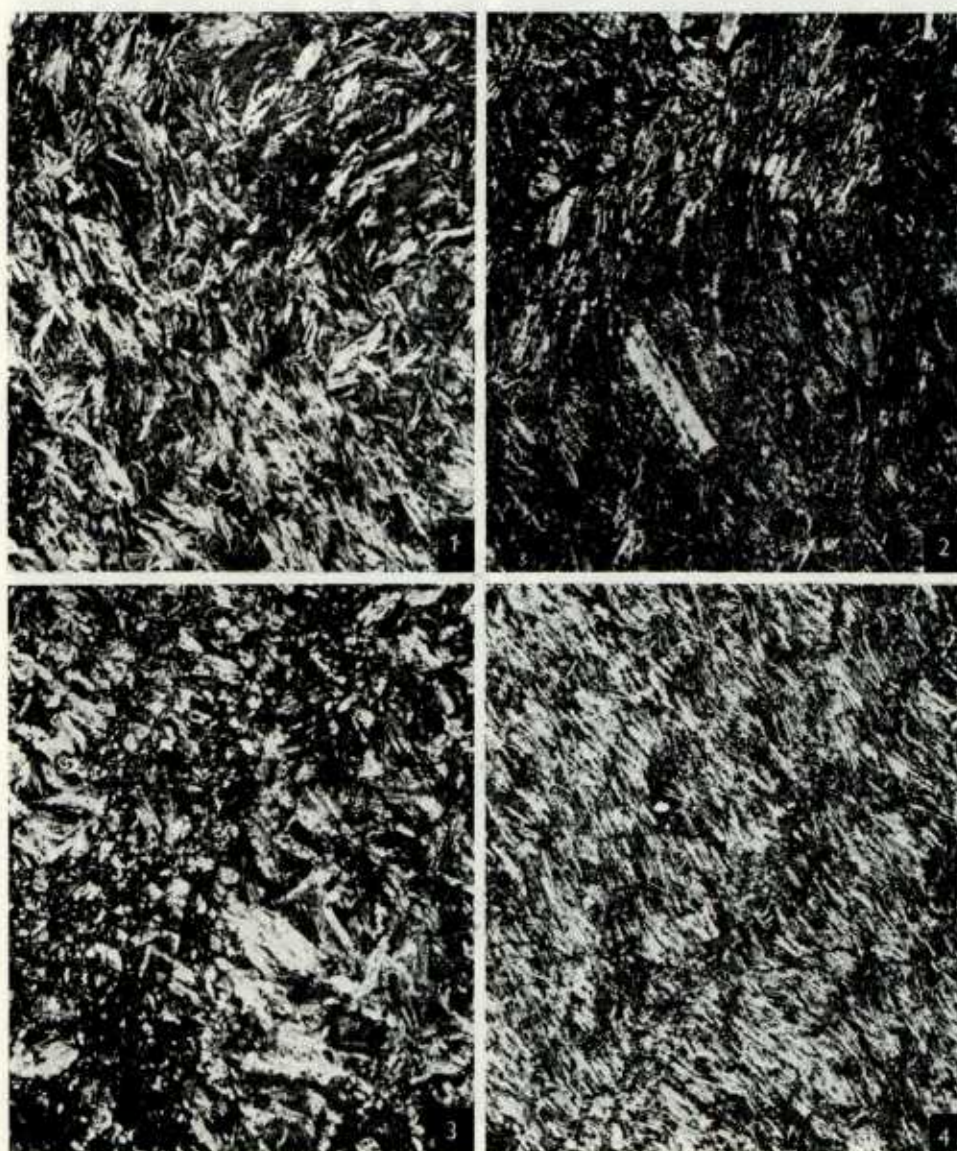


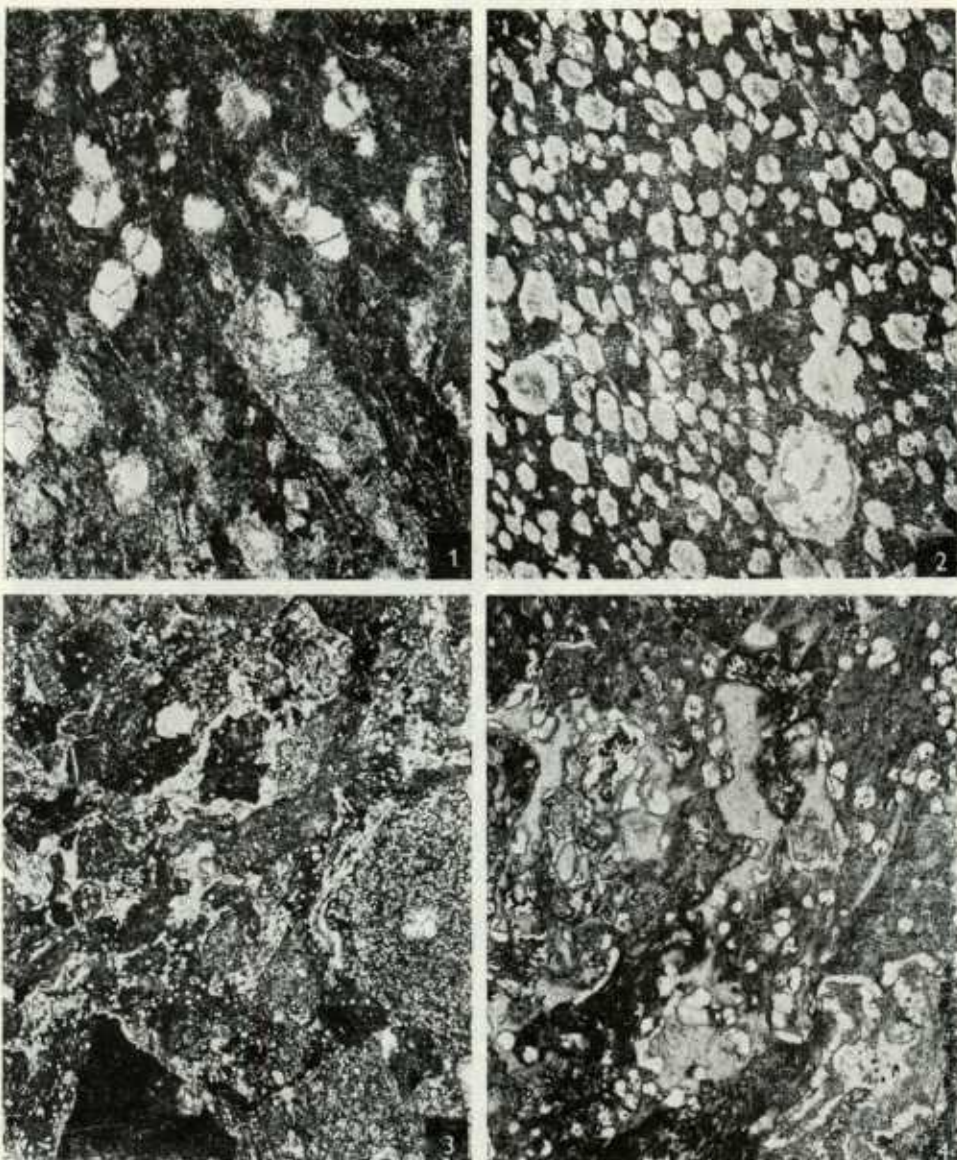


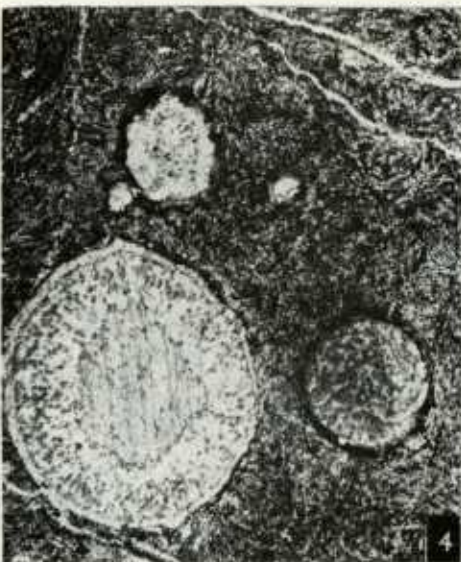
1

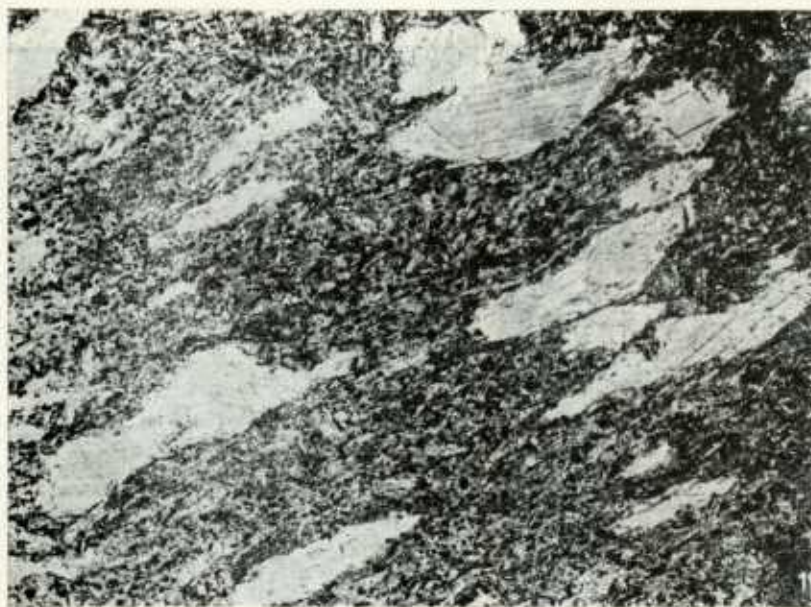


2





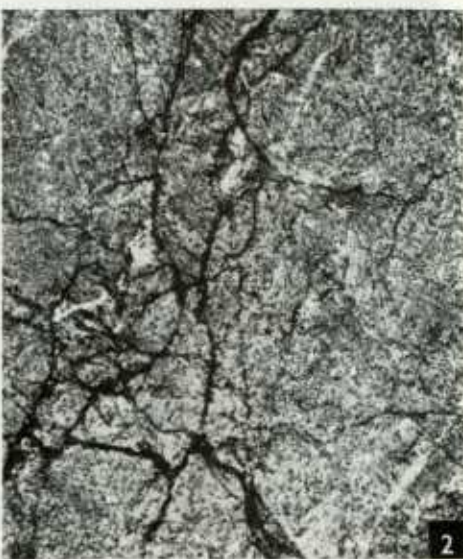




2



1



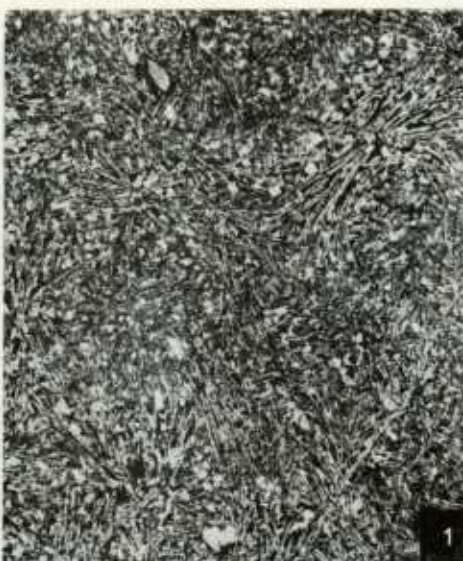
2



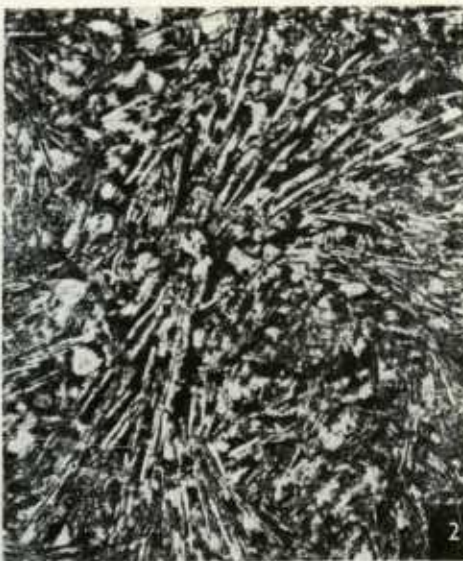
3



4



1



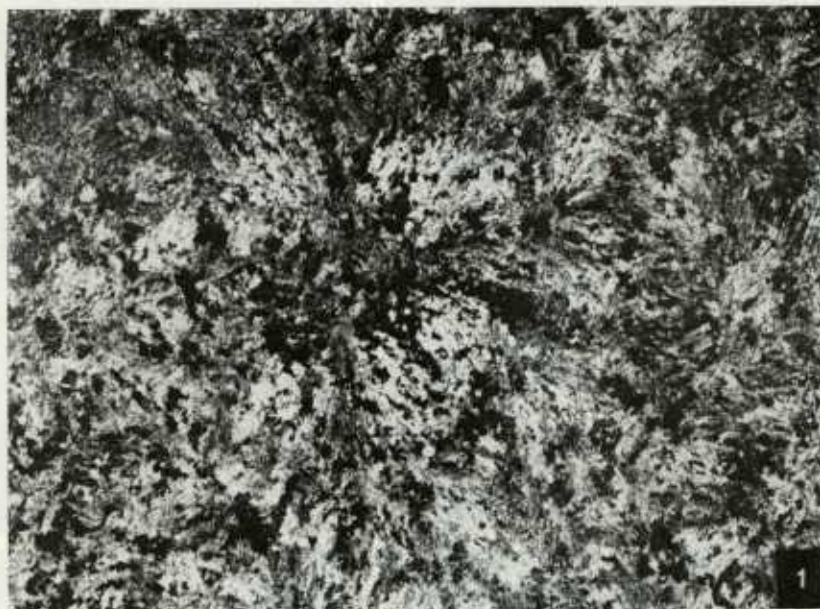
2



3



4





1



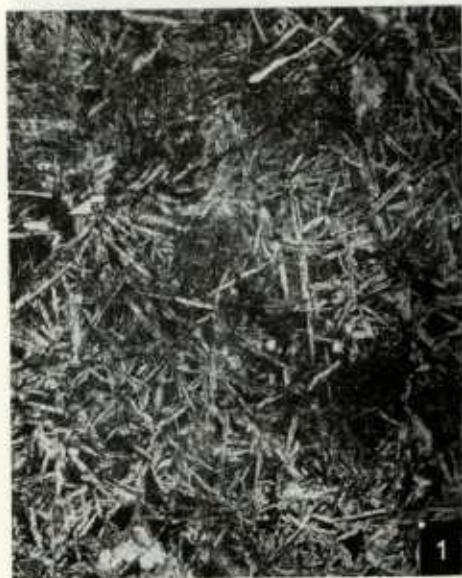
2



3



4



1

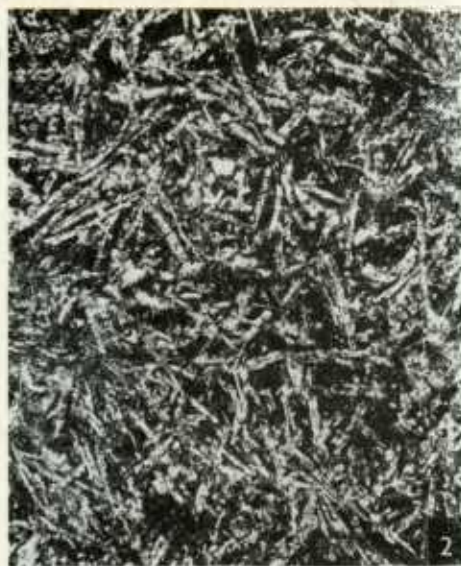
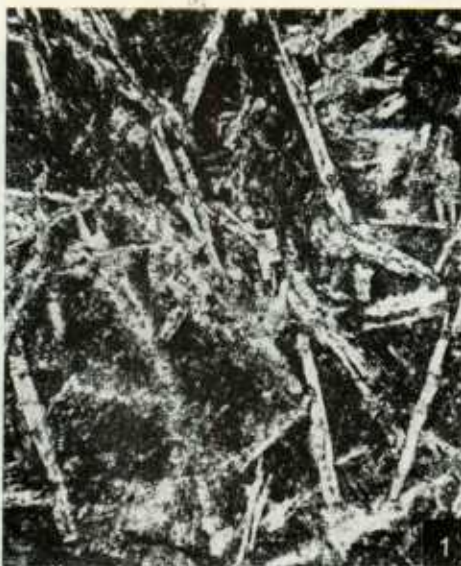
2

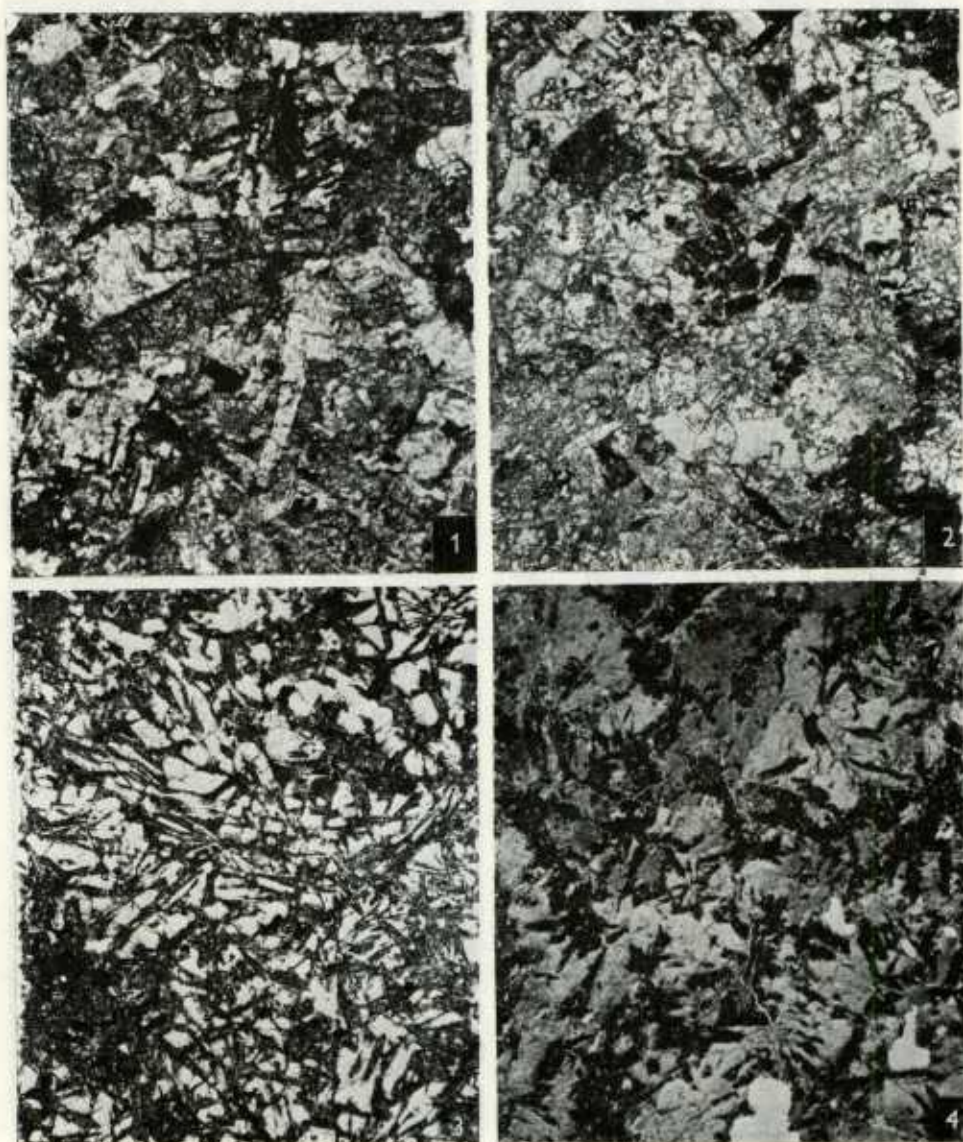


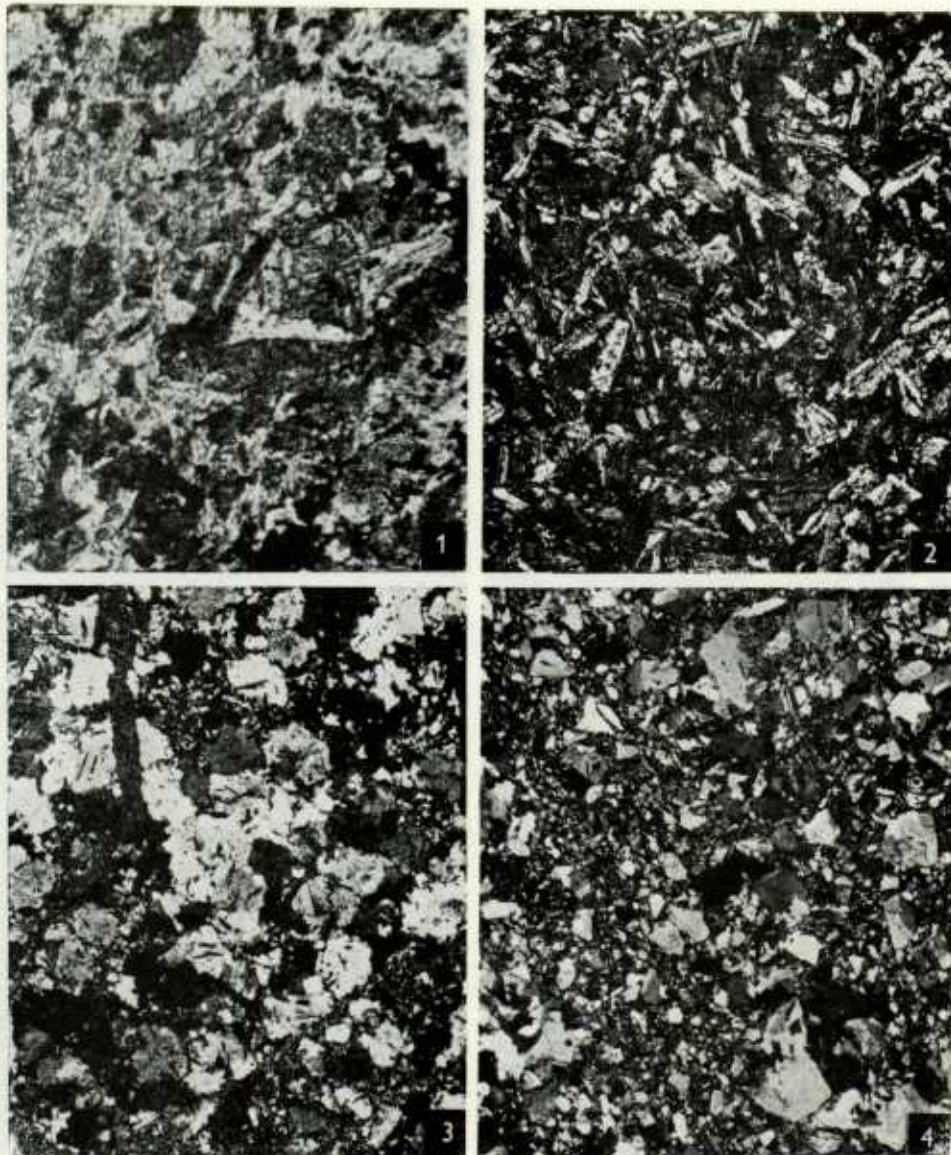
3



4







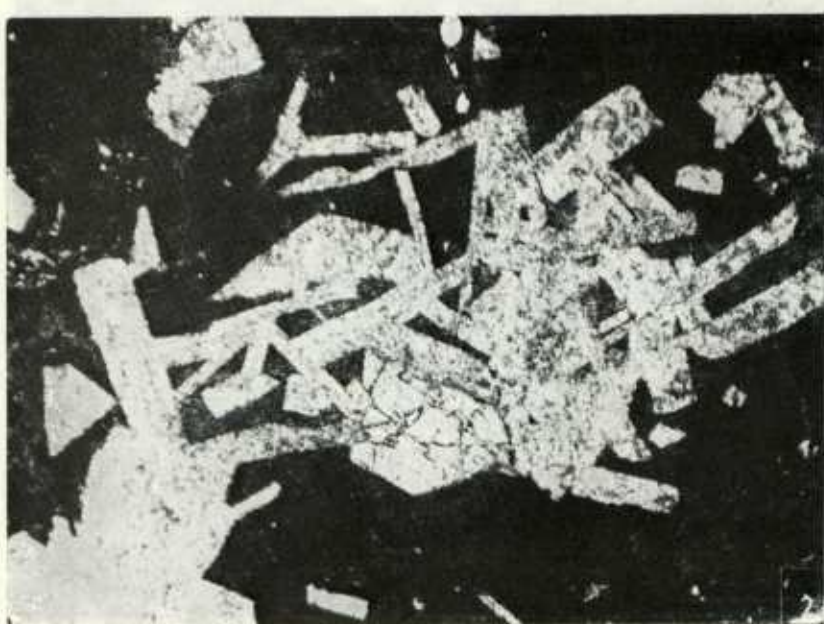


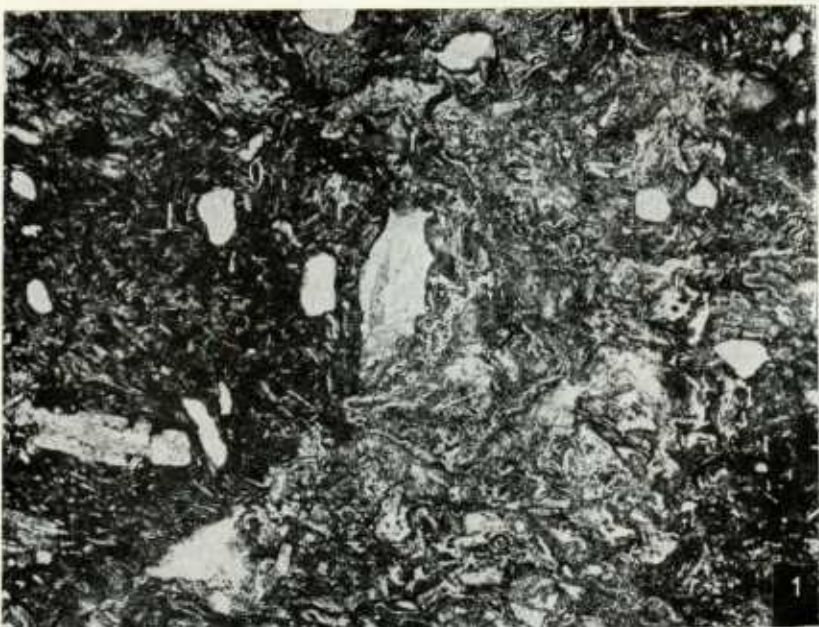


1

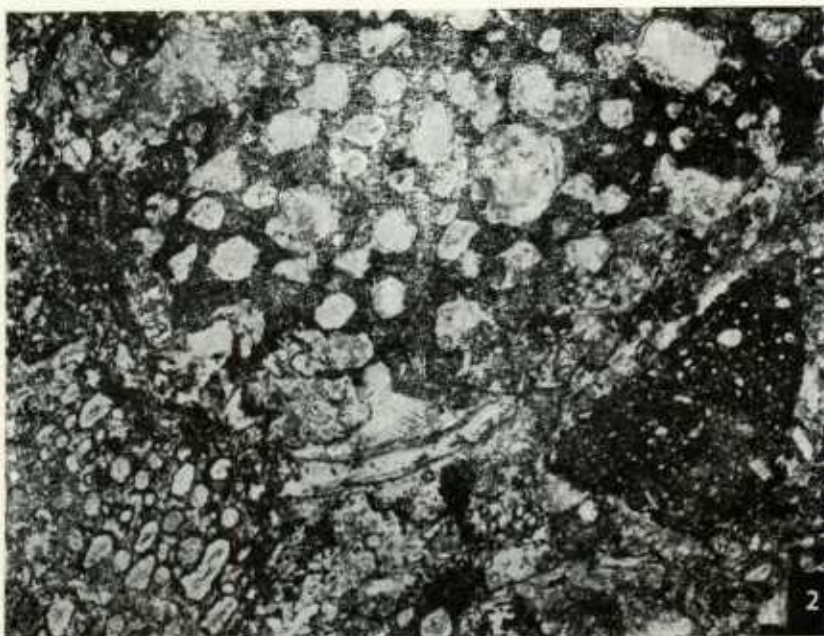


2





1



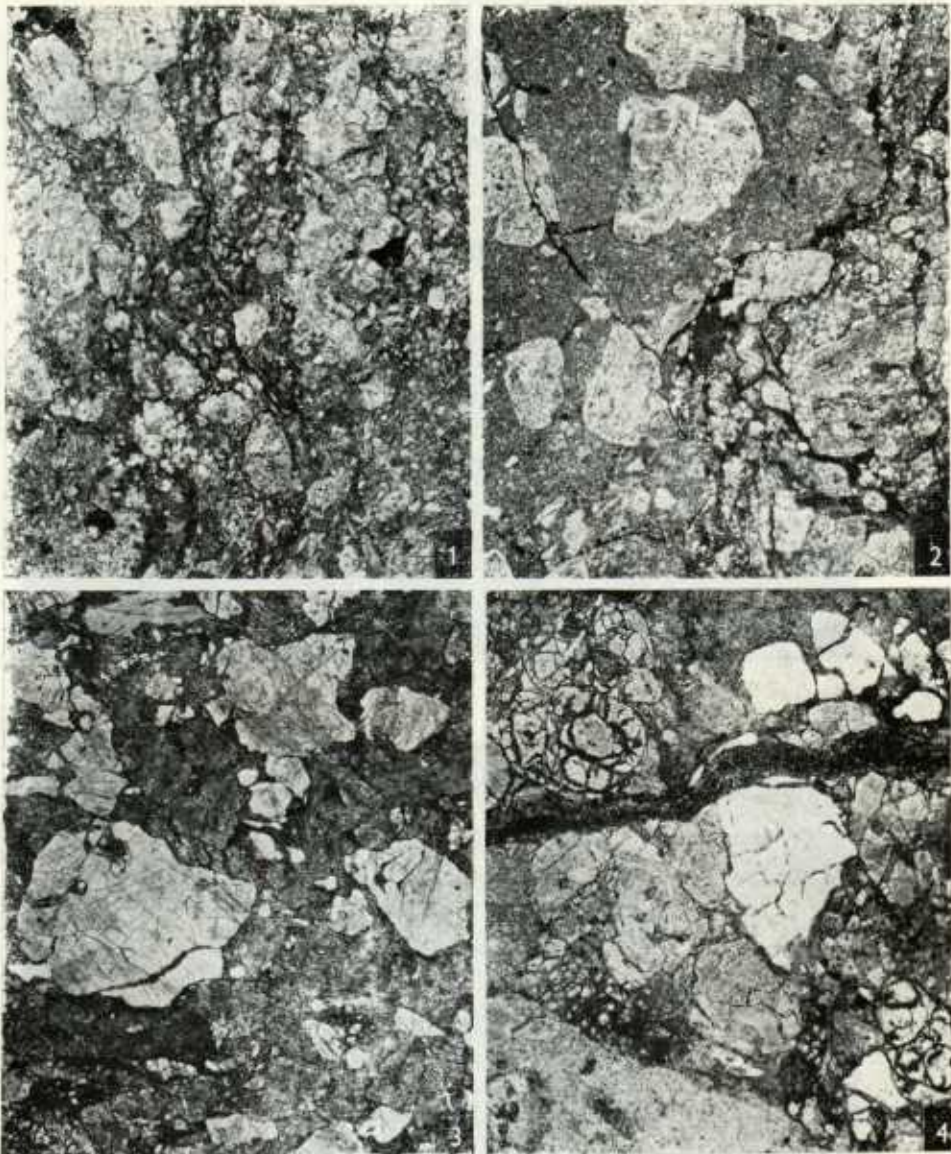
2

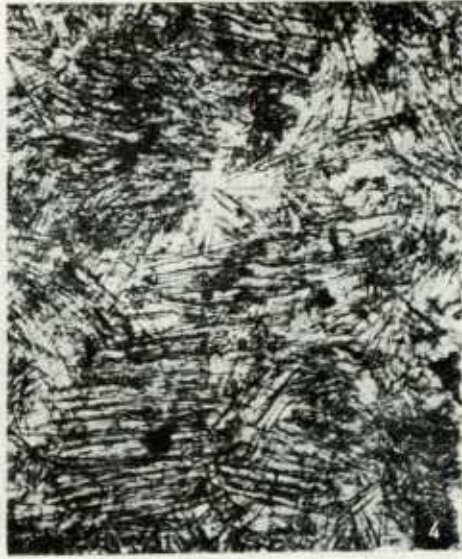
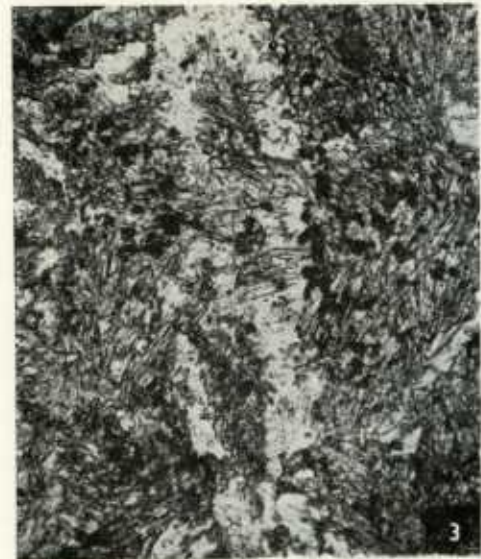


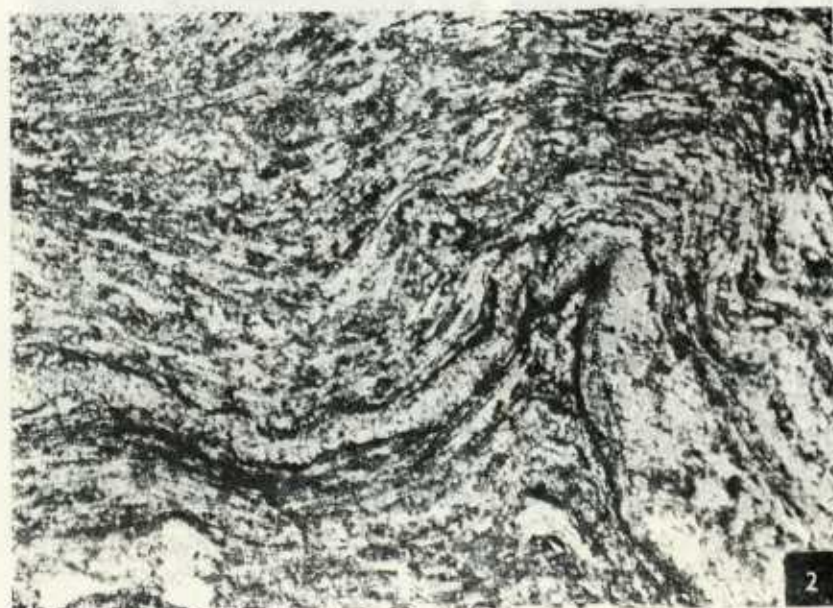
1

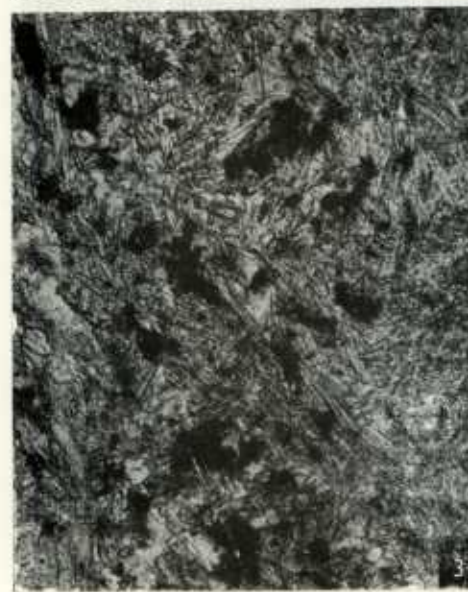
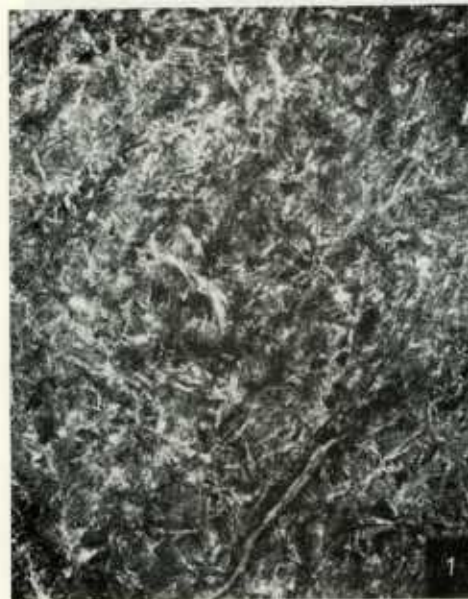


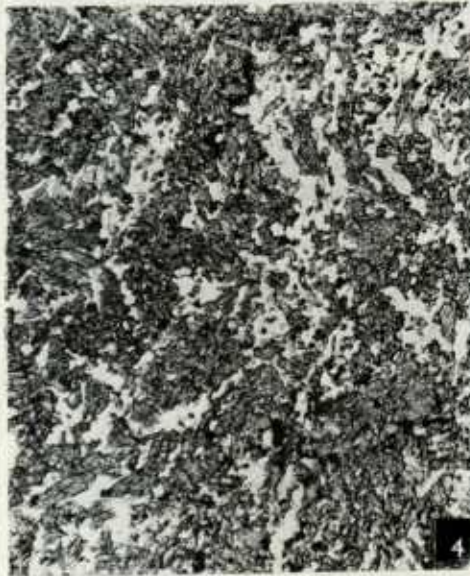
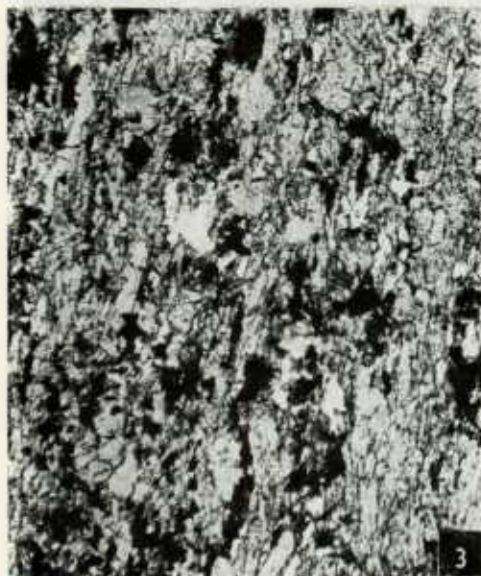
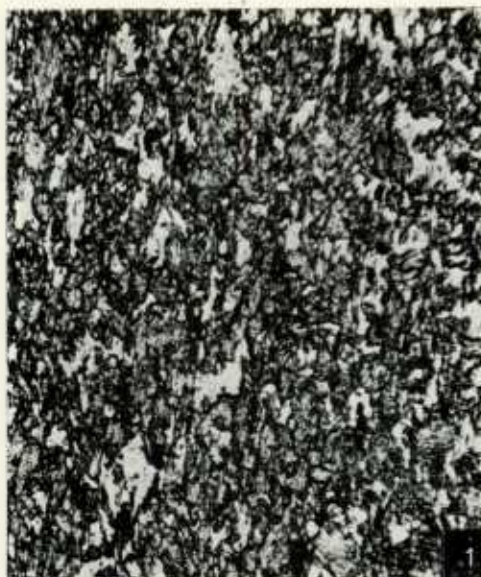
2











# **Structures and textures of the Upper Proterozoic volcanics of the Barrandian area**

*(Summary of the Czech text)*

František Fiala

Received March 22, 1985

The present paper is a supplement to the monographic study of the Upper Proterozoic volcanism of the Barrandian area (Fiala 1977). Thanks to the understanding of the Editor, at least part of the prepared comprehensive photographic material could now be issued additionally.

On 36 plates, 104 photographs (mostly photomicrographs) of most characteristic types of the structures and textures of our Proterozoic volcanics are presented. In the Czech text a short survey of the volcanic zones of the Barrandian Proterozoic is given, and the mineral compositions and chemistries of their volcanics are briefly characterized. Their main structures and textures are defined and their distinctive features are pointed out with reference to the pertinent plates and, to a restricted extent, to the typical localities. — English explanation of the plates is appended.

*Přeložila J. Košáková*

## **Explanation of plates**

### **Pl. I**

1. Spilite pillow lava in the quarry near Mítov; southern wall of the original protective coulisse with a dyke of albite diabase.
2. Spilite pillow lava with a dyke of albite diabase in the northern wall of the original protective coulisse in the quarry near Mítov.
3. Front of the same coulisse in the quarry near Mítov.

Photographs by F. Fiala

### **Pl. II**

1. Spilite pillow lava on the southern slope of the Buková hora hill NE of Měcholupy.
2. Ditto. — Detail. — The same locality.

Photographs by F. Fiala

Pl. III

1. Spilite pillows in the quarry near Kotěrov.
2. Finely amygdaloidal margin of a spilite pillow, visible on a transversal joint. Quarry near Kotěrov.

Photographs by F. Fiala

Pl. IV

- 1 Variolitic structure of a metabasalt pillow. W. of Svinář at the road to Kamennec.
- 2 Variolitic structure of a metabasalt pillow; another section. The same locality.

Photographs by ÚÚG — H. Vršťalová

Pl. V

1. Fusing of varioles in the margin of a metabasalt pillow furnishes evidence of their initial drop-like shapes and their origin due to liquid immiscibility. W of Svinář at the road to Kamennec.
2. Variolitic potassium spilite. SW of Rousínov, western slope of the Ostrý hill.

Photographs by ÚÚG — H. Vršťalová

Pl. VI

1. Metabasalt pillow breccia. S. of Zbečno; rocky slope above the left bank of the Berounka river, ca 350 m SW of the railway station.
2. Metabasalt pillow breccia. Detail. The same locality.

Photographs by F. Fiala

Pl. VII

- 1 Metabasalt granulation breccia, originally glassy. Abandoned quarry at the eastern margin of the village of Lišice.
2. Ditto. Detail. The same locality.

Photographs by F. Fiala

Pl. VIII

1. Proterozoic graphitoid shale with small nests and injections of spilite. Rock type close to that of peperite. Quarry at Kotěrov.  $\times 6$ , ordinary light.
2. Keratophyre granulate to peperite. E of Hřešihlav, S of Rybárna, 100 m from the Radubice brook mouth into the Berounka river,  $\times 6$ , crossed nicols.

Photographs by ÚÚG — D. Hejdová

Pl. IX

1. Metabasalt peperite with a small proportion of a sedimentary filling between the volcanic's fragments. Březové Hory, Anna shaft, 30th level, northern cross cut under the Lili shaft.  $\times 18.5$ , ordinary light.
2. Metabasalt peperite with a large proportion of shaly interstitial filling. Březové Hory, Anna shaft, 30th level, face of the branching along the Bezejmenná žila vein from the northern cross cut under the Lili shaft.  $\times 14$ , ordinary light.

Photographs by ÚÚG — D. Hejdová

Pl. X

1. Perlitic structure of acid trachyte glass. WNW of Chocenice, slope of the Malý Chlumek elevation  $\times 16$ , ordinary light.
2. Perlitic structure of trachyte glass. W of Chocenice, Velký Chlumek elevation, 100 m SSE of the top.  $\times 16$ , ordinary light.
3. Perlitic structure of trachyte glass. W of Chocenice, eastern foot of the Velký Chlumek elevation, test pit no 184.  $\times 16$ , ordinary light.

Photographs by ÚÚG — D. Hejdová

Pl. XI

1. Granulated fluidal glass from the interstitial filling of metabasalt pillow lava. W of Svinář at the road to Kamenec. X15, ordinary light.
2. Fluidal structure of glassy spilite lava. ENE of Žitín, 950 m NE of the farm, 50 m from the road to Jarov. X11.5, ordinary light.

Photographs by ÚÚG — S. Bártlová (1), D. Hejdová (2)

Pl. XII

1. Glassy metabasalt granulation breccia. NE of Kotěrov, quarry at the southern foot of the Háj hill, southern wall. X6, ordinary light.
2. Granulated fluidal glass from the interstitial filling of metabasalt pillow lava. E of Kotěrov, abandoned quarry at the road to Starý Plzenec. X18.5, ordinary light.

Photographs by ÚÚG — S. Bártlová

Pl. XIII

1. Glassy granulation breccia from the interstitial filling of metabasalt pillow lava. S of Letkov, quarry. X18.5, ordinary light.
2. Glassy granulate metabasalt tuff. SE of Nezabudice, above the road to Křivoklát. X18.5, ordinary light.

Photographs by ÚÚG — S. Bártlová

Pl. XIV

1. Glassy metabasalt granulation breccia. SE of Zbečno, quarry opposite the railway station. X22.5, ordinary light.
2. Fluidal structure of glassy metabasalt granulate. NNE of Týřovice; southern spur of the Písářův vrch hill. X11.5, ordinary light.

Photographs by ÚÚG — D. Hejdová (1), S. Bártlová (2)

Pl. XV

1. Fluidal structure of keratophyre. NE of Měcholupy, 710 m N of elevation point 650, Chýlava forest. X15, crossed nicols.
2. Fluidal structure of contact-metamorphosed biotite spilite keratophyre. ENE of Měcholupy, elevation point 616. X17.8, crossed nicols.
3. Eutaxitic banded structure of quartz keratophyre. Individual bands are of differing chemical composition and grain size. W of Jarov (Blovice area); eastern part of the Chroustov hill. X9.4, ordinary light.
4. Fluidal structure of keratophyre. E of Hřešihlav, S of Rybárna, ca 100 m before the exit of the gorge into the Radubice brook valley. X18.4, crossed nicols.

Photographs by ÚÚG — D. Hejdová (1, 3, 4), S. Bártlová (2)

Pl. XVI

1. Amygdaloidal structure of keratophyre (albite porphyrite), clast from tuffs. NE of Měcholupy, 200 m SSW of elevation point 616. X54, ordinary light.
2. Amygdaloidal structure of glassy spilite. Amygdules of chlorite. NE of Měcholupy, 550 m NE of the Buková hora hill. X9.4, ordinary light.
3. Finely amygdaloidal, originally finely vesicular structure of spilite lithoclasts from tuff. NE of Měcholupy, 500 m WSW of the Buková hora hill. X4.9, ordinary light.
4. Ditto. The same thin section, detail. Amygdules containing albite and chlorite. X18.4, ordinary light.

Photographs by ÚÚG — D. Hejdová

Pl. XVII

1. Amygdaloidal structure of metabasalt. Amygdales of quartz and calcite. Březové Hory, Anna shaft, 30th level, northern cross cut under the Lili shaft.  $\times 10$ , crossed nicols.
2. Amygdaloidal structure of metabasalt. Amygdales filled with albite and quartz in a hyalopilitic groundmass. S of Zvíkovec, outcrop in a road bend.  $\times 41$ , crossed nicols.
3. Amygdaloidal structure of spilite keratophyre. Amygdales filled with albite and quartz in fluidal felsoid to subvariolitic groundmass. W of Prádlo (Blovice area), southern slope of elevation point 521, S of the lonely house Chvostule.  $\times 5.2$ , crossed nicols.
4. Amygdaloidal structure of metabasalt. Chlorite amygdales with a calcite core and rim in a microvariolitic groundmass. Březové Hory, Anna shaft, 30th level, northern cross cut under the Lili shaft.  $\times 50.4$ , ordinary light.

Photographs by ÚÚG — D. Hejdová [1, 3, 4], S. Bártlová [2]

Pl. XVIII

- 1 Amygdaloidal structure of spilite with tectonically elongated calcite amygdales. Měčín, 13 km N of Klatovy, elevation NW of the village.  $\times 18.5$ , ordinary light.
2. Amygdaloidal fluidal structure of metabasalt. Amygdales filled with chlorite, kaolinite and quartz. W of Šlovice, SW of Plzeň.  $\times 73$ , ordinary light.

Photographs by ÚÚG — D. Hejdová [1], S. Bártlová [2]

Pl. XIX

1. Variolitic structure of metabasalt. Varioles very finely structured, felsoid at low magnification, in a groundmass of subvariolitic texture. W of Svinná at the road to Kamenec.  $\times 5$ , ordinary light.
2. Subvariolitic texture of metabasalt. Račice SE of Křivoklát, S of the village and SE of the Kamenné vrchy hills.  $\times 18.6$ , ordinary light.
3. Subvariolitic texture of strongly granulated metabasalt. Interstices filled with quartz, chlorite and sericite. SSE of Skřívaň, foot of the slope above the Tyterský brook.  $\times 16.5$ , ordinary light.
4. Variolite of potassium spilite with felsoid and radiated varioles. S of Panoší Újezd, Na Hůrce hill.  $\times 18.9$ , ordinary light.

Photographs by ÚÚG — S. Bártlová [1, 3, 4], D. Hejdová [2]

Pl. XX

1. Microvariolitic texture of metabasalt. Skomelno, elevation SW of the Hůrka hill.  $\times 17.6$ , ordinary light.
2. Ditto. Detail. The same locality.  $\times 44.6$ , ordinary light.
3. Detail of a metabasalt variole. Between light radii of feldspar, stripes of very fine pigeonite augite grains. W of Svinná, at the road to Kamenec,  $\times 152$ , ordinary light.
4. Detail of a potassium spilite variole. Between feldspar laths, chloritized glass with abundant leucoxene and remnants of augite. S of Pavlíkov. Na stráži hill E above the road.  $\times 152$ , ordinary light.

Photographs by ÚÚG — S. Bártlová

Pl. XXI

1. Spherocrystalline texture of variolitic keratophyre. Jarov in the Blovice area; N of the western margin of the village, 250 m NE of elevation point 563.  $\times 22.5$ , crossed nicols.

2. Spherocrystalline texture of quartz keratophyre. Large feldspar spherocrystals in a groundmass of symplectic texture. S of Újezdec (Merklin area), the Ptenínská hora hill.  $\times 21.7$ , crossed nicols.

Photographs by ÚÚG — D. Hejlová

Pl. XXII

1. Skeletal feldspars (oligoclase) in microvariolitic metabasalt. N of Týřovice, gorge SW of the Čertova skála crag, 80 m W of the road.  $\times 64.5$ , ordinary light.
2. Skeletal feldspars in the chloritized glass of hypocrystalline metabasalt. NNW of Týřovice, western margin of the Písářův vrch hill.  $\times 84$ , ordinary light.
3. Transition of microvariolitic texture into the divergent-radiated one. Potassium spilite, slightly actinolitized. S of Rousínov, southern foot of elevation point 462 "Šípy".  $\times 16.3$ , ordinary light.
4. Divergent-radiated texture of a slightly contact-metamorphosed keratophyre spilite. Between bunches of albite laths, filling of feldspar and biotite. E. of Březí (Blovice area), a road cut at the Žitín farm.  $\times 49.8$ , ordinary light.

Photographs by ÚÚG — D. Hejlová [1, 2, 4], S. Bártlová [3]

Pl. XXIII

1. Transition of microvariolitic texture into the intersertal one. N of Týřovice, the Čertova skála crag.  $\times 19.8$ , ordinary light.
2. Transition of divergent-radiated texture into the intersertal one. S of Račice 130 m S of elevation point 409.  $\times 66$ , ordinary light.
3. Intersertal texture of metabasalt. Bent laths of skeletal albite oligoclase; beginning actinolitization. S of Skomelno, elevation E of the Hůrka hill.  $\times 19.8$ , ordinary light.
4. Intersertal texture of metabasalt. S of Račice, SE of the Kamenné vrchy hills.  $\times 66$ , ordinary light.

Photographs by ÚÚG — S. Bártlová [1, 3], D. Hejlová [2, 4]

Pl. XXIV

1. Development of intergranular texture. Between laths of feldspar crystallize small augite columns oriented transversely to the feldspars. N of Týřovice, gorge S of the Čertova skála crag, 80 m W of the road.  $\times 64$ , ordinary light.
2. Intergranular texture of metabasalt. Between albite-oligoclase laths, filling of minute grains of pigeonite augite, albite and chlorite. W of Slovice, southern slope of elevation point 394.  $\times 16$ , ordinary light.
3. Intergranular texture of metabasalt. Small grains of augite between feldspar laths. Častonice in the Křivoklát area, western flank of the Berounka valley, E of elevation point 399 "Sokolík".  $\times 45.6$ , ordinary light.
4. Intergranular texture of metabasalt. E of Bučiny, north-western slope of the Černá skalka hill, 3 km SW of Skryje.  $\times 46.4$ , ordinary light.

Photographs by ÚÚG — D. Hejlová [1, 4], S. Bártlová [2, 3]

Pl. XXV

1. Relict ophitic texture of doleritic spilite [albite diabase]. Between platelets of albite, uralite amphibole enclosing remnants of pigeonite, abundant leucoxenized ilmenite, epidote and some carbonate. N of Srby (Blovice area), hill 150 m SSW of elevation point 560.  $\times 18.8$ , ordinary light.
2. Relict subophitic texture of doleritic metabasalt. Between argillized feldspars, chlorite after pyroxene, ilmenite and some albite. S of Slabce, north-eastern slope of the Modřejovický potok brook.  $\times 14$  ordinary light.

- 3 Poikilophitic texture of doleritic metabasalt. NW of Lučiště, E of the road to Mirošov.  $\times 16.5$ , ordinary light.
4. Poikilophitic texture of amphibolized and saussuritized doleritic metabasalt. SW of Chlumská, S of the road to Chudenice.  $\times 10$ , ordinary light.

Photographs by ÚÚG — D. Hejdová (1, 4), S. Bártlová (2, 3)

Pl. XXVI

- 1 Ophitic texture of actinolitized and zoisitized doleritic metabasalt. NE of Biřkov, elevation point 481, bore GP V-2, depth 66 m.  $\times 46.6$ , ordinary light.
- 2 Prismoid texture of doleritic keratophyre-spilite. Between oblong cross-sections of feldspar, a very small proportion of minute ore grains, chlorite and some quartz. SSW of Bzí, 6 km SW of Blovice, 200 m from the road.  $\times 19.8$ , crossed nicols.
3. Holocrystalline paxenomorph granular texture of quartz albitite. N of Dobříš, Lipíž valley.  $\times 5.3$ , crossed nicols.
4. Cataclastic texture of mylonitized quartz albitite. N of Dobříš, Lipíž valley.  $\times 5.3$ , crossed nicols.

Photographs by ÚÚG — S. Bártlová (1), D. Hejdová (2, 3, 4)

Pl. XXVII

1. Glomeroporphyritic texture. Group of chloritized and partly corroded olivine phenocrysts in the subvariolitic margin of a metabasalt pillow. S of Zvíkovec, above the road to Mlečice.  $\times 21.4$ , ordinary light.
- 2 Porphyritic texture. Strongly corroded and partly chloritized phenocryst of diopside pyroxene in augite porphyrite. W of Malá Buková, elevation point 458 "Čihátko".  $\times 21$ , ordinary light.
- 3 Porphyritic texture of keratophyre; narrow tablet of albite phenocryst in a trachytoid fluidal groundmass. NE of Měcholupy, 315 m SSW of elevation point 520.  $\times 21$ , ordinary light.
4. Porphyritic texture of an albitophyre clast from tuff. K-feldspar phenocryst partly mantled and replaced by albite. S of Zbraslav, Severokámen quarry 2nd level.  $\times 71.2$ , crossed nicols.

Photographs by ÚÚG — D. Hejdová (1, 3, 4), S. Bártlová (2)

Pl. XXVIII

1. Finely porphyritic texture of spilite. W. of Chocenice, southwestern foot of the Velký Chlumek hill.  $\times 54$ , ordinary light.
2. Porphyritic texture of albitophyre. Broadly tabular albite phenocrysts in finely poikilitic granular groundmass. N of Dobříš, hill E above the Lipíž valley.  $\times 42$ , crossed nicols.

Photographs by ÚÚG — D. Hejdová

Pl. XXIX

1. Porphyritic texture of amphibole porphyrite (metaandesite-basalt). Phenocrysts of altered feldspars and green amphibole in a microcrystalline groundmass consisting of amphibole, feldspar and epidote. NNW of Vrčen at the path to Srby (Blovice area).  $\times 11.5$ , ordinary light.
2. Glomeroporphyritic texture. Group of plagioclase phenocrysts in pigeonite porphyrite. Margin of a pillow. SE of Skřiváň, north-western slope of the Valachov hill.  $\times 47$ , ordinary light.

Photographs by ÚÚG — D. Hejdová (1), S. Bártlová (2)

Pl. XXX

1. Clastolava of keratophyre spilite. Fragments of altered glass and hypocrystalline amygdaloids and spilites in a scarce chloritized groundmass. NW of Měcholupy at the road to Jarov.  $\times 18.5$ , ordinary light.
2. Vitro-lithoclastic texture of keratophyre-spilite tuff. WNW of Chocenice, 150 m W of elevation point 514.  $\times 11.5$ , ordinary light.

Photographs by ÚÚG — D. Hejdová

Pl. XXXI

1. Paleobasalt metatuff; lithoclastic texture. NE of Mínice (Kralupy area), N of elevation point 236.  $\times 11.5$ , ordinary light.
2. Vitroclastic texture of spilite tuff. N of Měcholupy, 280 m W of elevation point 604.  $\times 22.5$ , ordinary light.

Photographs by ÚÚG — D. Hejdová

Pl. XXXII

1. Crystallo-lithoclastic tuff of quartz albitophyre. S of Zbraslav, Severokámen quarry.  $\times 19.8$ , ordinary light.
2. Lithoclastic tuff of quartz albitophyre with a fragment of nevaditic albitophyre. S of Zbraslav, Severokámen quarry "Na baních".  $\times 16.3$ , ordinary light.
3. Extrusive breccia of quartz albitophyre; crystallo-lithoclastic texture. Davle, quarry.  $\times 5.3$ , ordinary light.
4. Brecciated crystallo-lithoclastic texture of quartz-albitophyre tuff with fragments of perlite glass. S of Zbraslav, southernmost small quarry at the road to Davle.  $\times 12.3$ , ordinary light.

Photographs by ÚÚG — D. Hejdová

Pl. XXXIII

1. Minute columns of pumpellyite in metabasalt. SSW of Radnice, NW of Ovčína.  $\times 180$ , ordinary light.
2. Pumpellyite with quartz in an amygdale of granulated metabasalt. WNW of Městečko, south-western slope of the Rakovnický potok valley.  $\times 20.6$ , ordinary light.
3. Actinolite growing across the lathy feldspar in metabasalt. S of Hubenov, path to the Hřebensko forest.  $\times 123$ , ordinary light.
4. Actinolitization of metabasalt. Needles of actinolite grow across feldspar and the other constituents of the actinolitized metabasalt transformed into hornstone by contact metamorphism. S of Dolce, the Jindřín hill 4.5 km SE of Přeštice.  $\times 171$ , ordinary light.

Photographs by ÚÚG — D. Hejdová

Pl. XXXIV

1. Layer structure of small-scale folded chlorite-actinolite-carbonate greenschist [paleobasalt metatuff]. S of Radonice, quarry on the elevation "Na ovčině", 6 km ENE of Domažlice.  $\times 22.5$ , ordinary light.
2. Layer structure of small-scale folded actinolitized paleobasalt metatuff. NW of Liška, south-western foot of the Pušperk hill in the Chudenice area.  $\times 42$ , ordinary light.

Photographs by ÚÚG — S. Bártlová

Pl. XXXV

1. Slightly actinolitized spilite with relics of intersertal texture, overgrown by finely acicular aggregates of actinolite (signs of transition to fibroblastic texture). NNW of Poleň, 300 m W of elevation point 455.  $\times 16.6$ , ordinary light.

- 2 Strongly actinolitized metabasalt; development of fibroblastic texture. S of Chlumská, western slope of the Říčej hill, E above the Bělášov forest house.  $\times 45$ , ordinary light.
- 3 Strongly actinolitized metabasalt. Dark clusters of leucoxene between actinolite needles. Bukovec, northern slope of the Berounka valley, NE of Plzeň.  $\times 162$ , ordinary light.
- 4 Strongly amphibolized doleritic metabasalt. Within the columns of secondary amphibole, remnants of augite; in the interstices dark clusters of leucoxene. SW of Druztová, eastern slope of the Berounka valley.  $\times 20.2$ , ordinary light.

Photographs by ÚÚG — D. Hejdová [1], S. Bártlová [2, 3, 4]

Pl. XXXVI

1. Granoblastic texture of amphibolite — metamorphosed paleobasalt. WSW of Dlăžov, elevation point 642, N of the Saint Margaret chapel.  $\times 55.4$ , ordinary light.
- 2 Nematoblastic texture of amphibolite — metamorphosed paleobasalt. NE of Libkov, quarry at the southern foot of elevation point 629.  $\times 44.6$ , ordinary light.
- 3 Nematoblastic texture of amphibolite. NNW of Poleň, elevation point 488.  $\times 37$ , ordinary light.
- 4 Diablastic texture of amphibolite — metamorphosed paleobasalt. SSE of Sedliště, NE below elevation point 512 "Chlumec".  $\times 37$ , ordinary light.

Photographs by ÚÚG — S. Bártlová

### **Текстуры и структуры верхнепротерозойских вулканических пород Баррандиена**

В рамках комплексной работы о верхнепротерозойском вулканизме Баррандиена (Fiala 1977) нельзя было, учитывая обширность текста, одновременно в приложении добавить также подготовленную объемистую фотодокументацию. Теперь можно опубликовать, в качестве дополнения к вышеприведенной монографии, по крайней мере, определенную часть фотодокументации, касающуюся текстур и структур протерозойских вулканических пород. Во вводном тексте дается краткий обзор вулканических зон протерозоя Баррандиена и главных типов встречающихся в них вулканических пород. Затем следует указатель и характеристика исследуемых текстур и структур со ссылками на соответствующие фотоснимки и в ограниченном объеме также на типические местонахождения. Собственная Фотодокументация содержит в 36 приложениях 104 фотографии, в том числе 89 микрофотографий.

Přeložil A. Kříž